Statuahr N3BECTИЯ

АКАДЕМИИ НАУК АРМЯНСКОЙ ССР

Sthubyuuuu арыльфальшьгр исгри СЕРИЯ ТЕХНИЧЕСКИХ НАУК

theyur

ÉPEBAH

Издается с 1947 г.

Журнал выхолят на русском заыке 6 раз в год

ы и в и ч е и ч и в в в п и в ч е и

Կտայան Մ. վ. /պտտ. իսքրագիր), Աղանց Հ. Տ. (պտտ. իսքրագրի տեղանալ)
Ալևքսենսկի Վ. Վ., Անահյան Ա. Կ., Զագոյան Մ. Ա., Հակոբյան Ռ. և.,
Մտակյան Մ. Գ., Տեռ-Ազառև Ի. Ա.,
Փինաշյան Վ. Վ. (պտտ. իսքրագրի տեղակալ).
Պատասիանատու բարաուզար Սահվանյան Ջ.

РЕДАКЦИОННАЯ КОЛЛЕГИЯ

Касьян М. В. (ответ релактор) Адонц Г. Г. (этм. ответ. актор н. Алексеевский В. В., Анаиян А. К., Аконян Р. Е., Задоян М. А., Пинаджий В. В. (зам. ответ. релактори). Сархисян Ю. Л., Стакий М. Г., Тер-Азарьев И. А. Ответственный секретары Степании З. К.

Տեհոնիկական գիտութ, սեշիա

XXXIII, Nº 1, 1980

Серия технических чаук

ЭНЕРГЕТИКА

J A VHAHRH

ПІСКРЕТПО-ПЕПРЕРЫВНАЯ МОДЕЛЬ ОПТІМИЗАЦІІІ ГАЗОТРАНСПОРТНЫХ СЕТЕП

Опинем газотранспортную сеть в динамике развития графами $G_r(X^r, T^r)$, соответствующими дискретным временным уровням r(r-1, V) периода планирования. В соответствии с принятой практикой планирования предполагается последовательное расширение сети:

$$G_1(X^1, T^1) \subseteq G_2(X^2, T^2) \subseteq \cdots \subseteq G_N(X^N, T^N).$$

Лугам графов ставятся в соответствие действующие или проектируемые талопроводные участки и компрессорные станции, а вершинам — источники, потребители и нейтральные узлы. Пусть для каждо го элемента (t,j) системы заранее отобраны n_{ij} возможных вариантов усиления (по действующим элементам) или создания (по проектируемым элементам). Для простоты предположим, это набор технических решений по всем временным уровням $r(r-1,\Lambda)$ один и тот же. Обо ото им средине затраты реализации k-го варианта технических решений по газопроводным участкам через — C_{ijk}^{ij} , а по компрессорным станивям.

Навестны функции распределения случайных среднесуточных спросов f_n в газе потребителей $F'(Q_m)$ и отборов газа Q'_n из источников системы с давлениями $P'_n = F_n$ (Q). Предположим некоррелированность между рассматриваемыми случайными факторами. Вышестоящей организацией заданы вероятности обеспечения спроса потребителей αJ_n и непревышения отборов газа из источников

Требуется определить оптимальную стратегию развития ели за планируемый период (оптимальные технические решения по да кретным временным уровням) и оптимальные режимы ее работы, при которой суммарные приведенные затраты на систему минимальны.

При этих условиях математическая модель задачи онтимидации выглядит следующим образом (для упрошения модели в нелевую функцию не включены эксплуатационные затраты действующей части системы).

Найти минимум

$$S = \min_{\{x_{i,jk}^{l}, (x_{i,jk}^{l}) \in T_{ijk}^{lN}\}} \left\{ \sum_{(i,j) \in T_{ijk}^{lN}} \sum_{r=1}^{N} \sigma_r \sum_{k=1}^{N} \overline{C}_{ijk}^{iy} \cdot X_{ijk}^{r} + \sum_{(i,j) \in T_{ik}^{lN}} \sum_{r=1}^{N} \sigma_r \sum_{k=1}^{N} \overline{C}_{ijk}^{ic} \cdot Y_{ijk}^{r} \right\}$$
(1)

при выполнении следующих условий:

$$P\left(\sum_{j \in X_{l(r)}^r} \operatorname{sgn}\left(P_j^r - P_l^r\right) Q_{jl}^r + \sum_{j \in X_{l(c)}^r} \operatorname{sgn}\left(P_l^r - P_j^r\right) Q_{jl}^r \geqslant Q_{in}^{r_r}\right) \geqslant \pi_{in} \operatorname{ecan} i \in I_n;$$
(2)

$$\sum_{i \in \mathcal{N}_{RKY}} \operatorname{sgn} \left(P'_i - P'_i \right) \cdot Q'_H + \sum_{j \in \mathcal{N}_{RKS}} \operatorname{sgn} \left(P'_j - P' \right) \cdot Q'_H = 0, \text{ если } i \in I'_n;$$
 (3)

$$P \left\{ \sum_{i \in X'_{PY}} \operatorname{sgn} \left(P' - P'_{iu} \right) \cdot Q'_{i} - \sum_{j \in X'_{IRC}} \operatorname{sgn} \left(P'_{iu} - P'_{i} \right) | Q'_{ii} \leqslant Q''_{iu} \right\} \geqslant 1$$

$$\Rightarrow$$
 если $i \in I'_{fu}$; (4)

$$\sum_{i=1}^{n} X_{i,n} = 1, \text{ если } (i, j) \in T_{n} = T_{n}.$$

$$\tag{5}$$

$$\sum_{k=1} X_{ijk}^r \leqslant 1, \text{ ecan} (i, j) \in T_{ry}^{r_j} \subset T_{ty}^r; \tag{6}$$

$$T_{ry}^{rr} \cup T_{ry}^{rr} = T_{r}^{r} \cap T_{ry}^{rr} = \emptyset, \ X_{tyk}^{r} = \{0, 1\};$$
 (7)

$$Q_{ij}^r \cdot \prod_{m=1}^r \left(1 - \sum_{k=1}^n X_{ijk}^m\right) = 0, \text{ если } (r, r) \in \mathcal{T}_{rv}^r \cap \mathcal{I}_{rv}^m;$$
 (8)

$$P^{r_2} = P^{r_2}_{ij} = e \cdot L_{ij} \cdot Q^{r_2}_{ij} \left(d^{\alpha}_{ij} + \sum_{\alpha = 1}^{r} d^{\alpha - r}_{ij\alpha} \cdot X^{\alpha}_{ij\alpha} \right)^{5,2}, (i, j) \in T^r_{ij}$$
 (9)

$$\sum_{k} |Y'|_{k} = 1, \text{ ecan } (l, j) \in T' \subset T'_{\text{sc}};$$
 (10)

$$\sum_{i=1}^{n_{i,j}} Y_{i,jk}^{r} \leqslant 1, \text{ ecan} \quad (i, j) \in T_{ik}^{r} \subset T_{ik}^{r}. \tag{11}$$

$$T_{\text{KC}} \cup T_{\text{KC}}' = T_{\text{KC}}, \ T_{\text{KC}}' \cap T' = \varnothing, \ Y_{\text{A}} = [0, 1];$$
 (12)

$$(P_i - P_j) = \prod_{i=1}^{n} \left(1 - \sum_{i=1}^{n} Y_{ij}^n\right) = 0, \text{ есль } (i, j) \in T_{ic}^n \cap T_{kc}^{nt};$$
 (13)

$$\frac{a_{ij}^{\alpha} \cdot \max(P^r, P^{\alpha}_j) - \min(P^{\alpha}_i, P^{\alpha}_j)}{a_{ij}^{\alpha} \cdot \min(P^{\alpha}_i, P^{\alpha}_j)}$$

$$= \sum_{i} Y_{i,k} = \frac{a_{ijk} \cdot \max(P^{r2}, P^{r2}_{i}) - \min(P^{r2}_{i}, P^{r2})}{b_{ljk}} = Q_{ij}$$
(14)

$$0 < P_{i(j)} \leqslant P'_{i(j)} \leqslant \bar{P}_{i(j)}, \text{ ecan } i(j) \in X';$$
 (15))

$$0 < Q_{ij}^t \leqslant Q_{ii}$$
, есан $(j, i) \in T'$; (16)

$$\leqslant Q_{ln} \leqslant \bar{Q}'_{ln}, \text{ если } t \in I_n';$$
 (17)

$$Q_{iu} \leqslant Q_{iu} \leqslant Q'_{u}, \text{ если } i \in I'_{u}; \tag{18}$$

r = 1, N.

В модели использованы следующие обозначения:

з, - коэффициент приведения расчетных затрат к началу расчетного периода [1]: Q', Q' планируемый поток газа 1-му потребителю и отбор газа на I-го источника: X'_{0} и X'_{0} — соответственно, множестия газопроподных участков и компрессориых станций, смежных ки му уалу; Q'_{μ} поток газа от f-то у лај к l-му узлу; P', P' давления газа в Г-м и /-м у. л. у. С. - длина газовроводного участка $(I,j);d_{I_{0}}^{\pm}$ и $d_{I_{0}}^{\mu}$ - эканвалентные днаметры труб, действующих на участи пол и для k-го нарнанта технических решений: e-газодинамический коэффициент: $a_{ij}^{*},\;b_{ij}^{*}$ и $a_{ijk},\;b_{ijk}$ — параметры — действующей станини, определяемые по методике [2] и те же для к-го варианта технических решений; $P_{ij} = Q_{ij}^r$, $Q_{ij}^r = P_{ij}^r$, Q_{ij}^r , Q_{ij}^r , $Q_{ij}^r = R$ ижине и верхние пределы соответствующих переменных: I_n , I_n , I_n — соответственно, множества потребителей, нейтральных узлов и источников: $T_{\text{гу.}}$ $T_{\text{ке}}$ и $T_{\text{гу.}}^{\text{nr}}$ $T_{\text{ке}}^{\text{nr}}$ - множества имеющихся и новых газопроводных участков и компрессорных станций; $T_{\rm sc}$, $T_{\rm sc}$ и $T_{\rm res}$, $T_{\rm sc}$ — подмножества элементов системы, по которым, соответственно, обязательно и необязательно проведение новых технических решений.

Для действующих компрессорных станций h_t^1 прини мается ранным 1. для новых 0. Пределы Q_{ts}^* , Q_{ts}^* , и Q_{ts}^* , и определяются, исходя из соответствующих функций распределений. Индекс r указывает на принадлежность данной величины r-му временному уровию.

Сформулированиая выше модель является даскретно-непрерывной задачей стохастического математического программирования, которая может быть сведена к детерминированному эквизаленту, если перейти от вероятностных условий (2). (1) к детерминированным [3]. Однако точное решение данной задачи в общем случае затруднительно изгаето комбинаторного характера и отсутствия эффективных алгоритмов. Поэтому на практике можно ограничиться приближениым решением [4].

Другой подход к реализации модели заключается в непользовании пвалентных условий по тным переменным и (например, $X^*_{11} - X^*_{12} = 0$, $Y^*_{12} - Y^*_{13} = 0$), что позволяет перейти к полностью непрерывной задаче математического программирования,

для решения которой имеется широкий арссиал метолов граднентного и понскового тина.

Данная модель применима в первую очередь к райопным газотранспортным системам, что обусловлено возникающими грудностями вычислительного характера при рассмотрении больших газоснабжаюших систем. Однако при условии агрегирования элементов системы, объединения потребителей (что и практикуется при рассмотрении больших систем газоснабжения), а также при условии рассмотрения ограниченного количества вариантов развития элементов системы, модель может быть применена и к Единой газотранспортной системе или крупным се подсистемам.

Ер, компл. отд. ВНИПЭразпром

Поступило 4,ХИ,1979.

L. 2. 2056038006

ԴԱԶԱՏՐԱՆՍՊՈՐՏԱՅԻՆ ՑԱՆՑԵՐԻ ՕՊՏԻՄԱԼԱՑՄԱՆ ԴԵՍԿՐԵՏ-ԱՆԸՆԴՀԱՏ ՄՈԴԵԼ

U d'alman e d

Առաջարկվում է դազատար ցանցերի դինամիկ դարզացվան օպտիմալացման մաքինտաիկական մողել։ Այն պարունակում է դիսկրետ և անընդշատ փոփոխականներ, որոնք որոշում են Համակարգի սխնման և նրա այխատանքի ռեժիմը։ Սլակետային ինֆորմացիան ենքադրվում է Հավանականորեն որոշված։ Մողելը իրագործվում է մաքեմատիկական ծրագրավորման մեքողներով, որոնը Տաշվի են ասնում դիսկրետ և անընդՀատ փոփոխական ների առկալուքյունը։

ЛИТЕРАТУРА

- Макаров А. А., Мелентыев Л. А. Методы песпелования и оптимизации эперистичеукого колянства. М., «Наука», 1973.
- 3. печесандров А. В., Яковлев Е. И. Проектирование и эксплуатиция систем мльнего гранспорта гала М., «Педра» 1974
- Юдин Д. Б. Математические методы управления и условиях неполной информаили. М., «Советское радио», 1971
- 4. Финкельштенн Ю. Ю. Приближенные метолы и прикладные гадачи дискретного программирования М., «Наука», 1976

Տեխնիկական գիտութ, սեշիա

XXXIII. No. 1, 1980

Cepter rexiding, Kara Hayk

ЭЛЕКТРОТЕХНИКА

л. О. КАРАХАНЯН

ИССЛЕДОВАНИЕ МАГНИТНОЙ ПРОНИЦАЕМОСТИ НЕОДНОРОДНОЙ СРЕДЫ С УЧЕТОМ ВЗАИМНОГО ВЛИЯНИЯ ЧАСТИЦ

В технике связи и радиотехнике, а также в электромашиностроснии широко применяются магинтодиэлектрики (МД), представляющие собой омесь ферромагинтных частии и связующего диэлектрика. Расширение области применения этих материалов сопровождается непрерывным ростом требовании к получению эпределенных сочетаний электромагнитных и механических свойств.

Для выбора оптимальных значений нараметров МД необходимо иметь зависимость этих нараметров от свойств ферромагнитной и дизлектрической фаз. В настоящее время расчет средних нараметров МД осуществляется на основе модельных теорий, в которых приняты упрошающие ограничения. Однако экспериментальные данные средних параметров часто дают существенное расхождение с теоретическими, что объясняется несоответствием основных георетических предпосылок, на основе которых получены расчетные формулы, и действительных условий. При определении средних параметров МД часто не учитывается то обстоятельство, что феррочастина в МД намагничивается в сложном, неоднородном поле, зависящем от взаимного расположения бляжайших частии. При этом собственное поле феррочастицы должно быть учтено совохунностью диполей и мультиполей высокого порядка.

В статье рассматривается задача расчета средней магнятной провицаемости неоднородной среды, моделирующей МД, со сферическими феррочастицами, расположенными в узлах прямоугольной пространственной решетки при учете взаимного влияния феррочастиц мультиполями до 3-го порядка включительно.

Рассмотрим неоднородную среду со сферическими ферромагнитвыми включенаями одинакового радпуса а, помещенную в однородное постоянное магнитное поле И. Связь между индукцией в ферромагнитвых включениях и напряженностью определяется линейной функцией

$$B = p_t p_b \cdot H_t \qquad (1)$$

где µ, — начальная магнятная проницаемость вещества включений. Магнитная проницаемость среды, окружающей включения, равна µ,

Для гого, чтобы определить среднюю проницаемость рассматриваемой неодноролной среды, необходимо рассчитать коэффициент B, [1],

пропорциональный среднему дипольному моменту сферических включений. Начало декартовой системы координат совместим с центром некоторой сферы P, причем ось z направим параллельно H. Обозначим через Q некоторый шар, отличный от P.

В рассматриваемой области нет токов. Следовательно.

$$rot H = 0 (2)$$

11

$$H = -\operatorname{grad} U$$
, (3)

где $U + \mathfrak{c}$ калярный магнятный потенциал.

Из условия отсутствия источников поля вектора магнитной лидукцви следует:

$$\operatorname{div} \vec{B} = 0. \tag{4}$$

Подставив $B = -\mu \mu_0$ gradUв (4), можно прийти к уравнению Лапласа $\nabla^2 U = 0$, решение которого для внешней и внутренией (по отношению к сферическому включению P) областей определяется выражениями [1]:

$$U_{c} = \sum_{n} \left(A^{m} r^{n} - P^{n-1} \right) P_{n}^{m} \left(\cos \varphi \right) \cos \psi; \tag{5}$$

$$U_1 = \sum_{m,n} C^m \qquad (\cos z) \cos m \, ; \tag{6}$$

$$n = 1, 3, 5, ..., m = 0, 2, 4, ..., m < n,$$

где P_{-n} " (соѕф) — присоединенная функция Лежандра первого рада. Из граничных условий на поверхности сферического включения можно получить связь между коэффициентами — B^m и C^m :

$$A^{m} = \frac{1 + v \cdot 1/n}{1 - v} a^{-(2n-1)} B_{+}^{m} C = \frac{2n-1}{n - v n + 1} A_{n}^{m} v = \frac{p_{1}}{p_{2}} v \tag{7}$$

Для определения коэффициентов A^m , B^m , C^m авторы [1, 2] представляют потенциал U_s точки с координатами x, y, z, как результат наложения потенциала внешнего однородного поля (-Hz) и суммы потенциалов всех мультиполей Q_s и P относительно точки (x, y, z):

$$Hz = \sum_{m, n} A^m r^n P^m (\cos z) \cos m z = \sum_{n, m} B^m \sum_{Q_n} r^{n-1} P^m (\cos z) \cos m z$$

(S)

где r, ϕ , ψ — сферические координаты точки (x, y, z) относительно центров сфер Q_{c} .

Применяя к выражению (8) оператор

$$L_N^{\rm M} = \frac{\partial^N}{\partial z^{N-M}} \frac{\partial^N}{\partial x^M} \tag{9}$$

и переходя к пределу при $(x, y, z) \rightarrow 0$, получим систему алгебранческих уравнений для нахождения коэффициентов A^m и B_m

$$-H_N - M! (N-M)! \sum_{m} A_n^m a_n (N, m) =$$

$$= \sum_{m} \sum_{m} \frac{(n+N-M-m)!}{(n-m)!} B_m \sum_{n+N-M,m},$$
(10)

rae $H_N = 0$ npn $N \ne 1$; $H_1 = H$; $h = \frac{1}{2}$ (M - m); N_1 , $n = 1, 3, 5, \cdots$; m_1 , $M = 0, 2, 4, 6, \cdots$;

$$a_h = \frac{(n-m)(n-m-1)\cdots(n-m-2h-1)(-1)^h}{4^h \cdot h! \cdot (m+1)(m+2)\cdots(m+h)} a_h.$$
 (11)

$$a_0 = \frac{(n-m)!}{2^m \cdot m! (n-m)!}$$
 (12)

Вспомогательные коэффициенты $\sum_{m=0}^{\infty}$ в (10) определяются только геометрическими характеристиками пространственной решетки, я узлах которой расположены еферические включения.

Рассмотрим случал кубической простравственной решетки ($\alpha = \beta = \gamma$). В этом случае вспомогательные коэффициенты определяются следующим выражением

$$\Sigma^{M} = \pi^{-(g-M-1)} \cdot S^{M} \cdot \tag{13}$$

$$M, m = 0, 4, 8, 12, \cdots$$
 (14)

Значения $S_{n-m}^{(0)}$ различных порядков определены в [1] и [2]:

$$S_1 = 2.092; S_2 = 3.1059; S_2 = 0.5733; S_3 = 3.2592.$$

В большинстве случаен при n=3 (учет мультиполей до гратьего порядка включительно) уже лостигается удовлетворительная точность средней проинцаемости. Поэтому и раничимся решением системы, обрывающемся на n=3. При этом получается система линейных уравивний:

$$\begin{cases} A_1 + 2B_1 Y_2 - 4B_3 Y_1 = H; \\ A_3 + 4B_1 Y_4 - 20 B_2 Y_6 = 0. \end{cases}$$
 (15)

Иля определения B_1 на этой системы выразим A_2 и A_3 через B_1 ж. B_2 но (7):

$$A_1 = \frac{\mu_1 + 2\mu_2}{\mu_2 - \mu_1} a^{-3} B_1; \ A_3 = \frac{4 \cdot 3}{\mu_2 - \mu_1} a^{-7} B_3. \tag{16}$$

Подставляя значения A_1 , A_2 и Σ_1 , Σ_2 по (11) и (15), получим:

$$\begin{cases} B_{1}\left(4,18\pi^{-3} + \frac{2n_{1} + n_{1}}{n_{2} - n_{1}}a^{-1}\right) + 12,44\pi^{-1}B_{3} - H; \\ B_{1}\cdot12,44\pi^{-1} + B_{3}\frac{4n_{1} + 3n_{1}}{3(n_{2} - n_{3})}a^{-1} - 11,52\pi^{-1} = 0. \end{cases}$$
(17)

Решение полученной системы относительно B_i дает:

$$B_{5} = \frac{\left[\frac{4 p_{2} + 3 p_{3}}{3 (p_{2} - p_{3})} a^{-2} + 11,52 a^{-1}\right] (-H)}{\left[\frac{(4 p_{3} - 3 p_{3})}{3 (p_{2} - p_{3})} a^{-1} + 21,52 a^{-1}\right] \left(4,18 a^{-2} \frac{2 p_{2} + p_{3}}{p_{3} - p_{3}} a^{-2}\right) - (12,44)^{2} a^{-1}}.$$
(18)

Для определения средней (эффективной) магинтной проинцаемости выразим расстояние между ближайшими сферами решетки через раднус и объемную концентрацию сферических включений. Используя выражение объемной концентрации яключений, можно получить следующую связь:

$$\alpha = a \left(\frac{4\pi}{3\rho}\right)^{1/3} \tag{19}$$

Подстановка (18) и (19) в формулу $\mu_0 = \mu_0 \left(1 - \frac{4\pi B_1}{291 H}\right)$ дает

$$\mu_{\text{ep}} = \mu_2 \left[1 - \frac{3p \left(\mu_1 - \mu_0 \right)}{3 \left(\mu_2 - \mu_1 \right)^2 \cdot 154, 75 \left(a \right)} \right]$$

$$\left[\frac{3p \left(\mu_1 - \mu_0 \right)}{4 \mu_0 - 5 \mu_1 - 34, 56 \left(\mu_0 - \mu_1 \right) \left(a/z \right)^2} \right]$$
(20)

Сопоставлением зависимости (20) с формулой Релея можно убедиться, что в (20) имеется дополнительный член $\delta=34.56$ ($\mu_z-\mu_t$) (a/α). Если при определении B_t учесть только пераме вспомогательные коэффициенты \sum_{n} и \sum_{n} то $\delta=0$ и (20) переходит в формулу Релея.

Опеним влияние дополнительного члена б на величину средней магнитной проинцаемости при и, →∞ и µ₂ 1. Разделив числитель и внаменат ль выражения (20) на µ₄ и переходя к пределу, вместо (20) получим:

$$\frac{30}{3 - 34,75 (a/x)^{10}}.$$
 (21)

При максимально возможной объемной концентрации сферических ферромагнитных включений $p_{\rm w-sc}=\frac{\pi}{2}$ по (21) получаем $p_{\rm cp}=6.05$.

По формулам Релея и Лоренц-Лорентца максимальная произнаемость будет 5,82 и 4,28, соответственно. Следовательно, уточнение формулы Релея [1, 2] с помощью дополнительного члена $\delta = 34,56 \; (\mu_2 - \mu_1) \; (a/2)^2$ дает предельное унеличение и ϵ_0 на 41,3% по сравненно с расчетом по формуле Лоренц-Лорентна.

В таблице приведены расчетные значения средней магнитной пронинаемости при разных значениях объемной концентрации p для случая, когда сферы расположены в узлах кубической решетки и $\frac{h}{r_e} \to \infty$.

			Таблиц			
	Средняя пропидаемость по:					
Р 	Поренц— Порентпу	Релею	формуле (20)			
0.1 0.2 0.3 0.4 0.5 0.52	1.33 1.75 2.29 3 4 4.28	1,33 1,75 2,3 3,18 5,4 5,82	1.33 1.75 2.32 3.21 5.6 6.05			

Как видно из таблины, при $p\leqslant 0.4$ расчетные значения \mathfrak{p}_{ep} , по лученные по формуле Лоренц-Лорентиа, мало отличаются от значений, полученных по (21). При больших значениях объемной концентрации ($p\geqslant 0.4$) учет мультиполей 3-го порядка (октуполей) дает существенное увеличение и \mathfrak{p}_{ep} .

Формулу статической проинцаемости (20) можно распространить на случая синусовлального внешнего поля. Подставляя в (20) вместо развительноства феррочастиц эквивалентную комплексную проинцаемость сферической феррочастины [3], получим выражение средней комплексной проинцаемисти рассматриалемой пеоднородной среды.

Выводы

- 1. Получено выражение статической магнитной процицаемости неранородной среды на основе нолного учета липольного и октупольного взаимодействия намагниченных феррочастии.
- 2. Показано, что при высоких концентрациях строгий учет азаимного влияния намагниченных феррочастиц с помощью мультинолей высоких порядков может существенно приблизить расченые значения рер к экспериментальным.

լ. Հ. ԿԱՐԱԽԱՆՅԱՆ

ԱՆՀԱՄԱՍԵՌ ՄԻԶԵՎԱՅԲԻ ՄԱԳՆԻՍԱԿԱՆ ԹԱՓԱՆՅԵԼԻՈՒԹՅԱՆ ՀԵԶԱԶՈՏՈՒՄԸ՝ ՀԱՇՎԻ ԱՌԵԵԼՈՎ ՄԱՍՆԻԿԵԵՐԻ ՓՈԽԱԶԴԵՑՈՒԹՅՈՒՆԸ

Ամփոփում

Հոդվածում ուսումնասիրվում է գնդաձև ֆնրրոմասնիկներով մաղնիսադիէլեկտրիկի համարժեք Թափանցնլիության կախումը մասնիկների ծավալային կոնցննարացիայից և գնդիկների մաղնիսական Թափանցելիությունից։
Արտածվում է անալիտիկ արտահայտություն, որն ստացվում է Լապլասի
հավառարման լուծման հիման վրա, հաշվի առնելով ֆերրոմասնիկների փոխաղարձ աղդեցությունը միմյանց վրա բարձր կարդի մուլտիպոլների միչոցով։

ЛИТЕРАТУРА

- Rayligh J. W. On the influence of obstacles arranged in rectangular order upon the properties of a medium. "Phyl. Magazine", 1892, v. 34.
- Толмачев С. Т. Расчет потенциала в прямоугольной пространственной системе сферических элементов, помещенных во внешнее отнородное поле. «Электричество», 1974, № 10.
- 3. Полиданов К. М. Ферромагнетики М., Госэнергонадат, 1957.

Տեխնիկական գիտութ_ սեբիա

XXXIII, № 1, 1980

Серия технических наук

вычислительная техника

в. д. минасян

ПИФРОВОЕ МОДЕЛИРОВАНИЕ ПЕРЕХОДНЫХ ПРОЦЕССОВ В ПОДСХЕМАХ «ТИРИСТОР» ЗАЩИТНАЯ ЦЕПЬ»

Одной из актуальных проблем преобразовательной техники является разработка преобразователей электрической энергии повышенной и высокой частоты с оптимальными весо-габаритными и стоимостимии характеристиками, что в консчиом чтоге сводится к задаче сипжения потерь в преобразователях и улучшению их динамических свойств.

В настоящее время основной трудностью, возникающей в ходе решения указанной задачи, является отсутствие достаточно точного и по возможности простого машинного представления переходных процессов, имеющих место в пелинейных элементах схемы преобразователя, таких, в частности, как пиристор и насыщающийся реактор (НР).

Возможности большинства из разработанных программ анализа и расчета вентильных преобразователей не допускали учета указанных переходных процессов и машинный анализ производился со следующими приближениями:

- 1. Элементы силовой схемы преобразователя динейны.
- 2. Вептили являются идеальными ключами.
- 3. Коммутация вентилей миновениа.

Такая идеализация элементов схемы преобразователя может быть приемлемой ляшь в области инэких частот ($f < 400\ Fu$) и лишь в некоторых частных случаях.

Целью настоящей работы является описание цифровых моделей подскем «Тиристор-защитная цень» (Т-ЗЦ), разработанных согласно методике ELTRAN [1] с применением математических моделей дасыщающегося реактора и тиристора на этапе выключения.

Отличительной чертой указанных моделей является то, что примененные в них математические модели нелинейных элементов получены на основе рассмотрения физических процессов, имеющих место в этих элементах в переходных режимах.

Так, например, математическая модель тиристора получена решением уравнения испрерывности, описывающего поведение неосновных носителей широкой и-базы прибора (дырок), с граничными условнями, соответствующими различным этапам моделируемого переходного процесса [2, 3], математическое описание которого задается системой [3]:

$$\begin{cases} P_{0} = EP_{1} - GP_{n} + Irf(t); \\ P_{t} - BP_{t} \stackrel{?}{=} CP_{t-1} \stackrel{L}{+} CP_{t+1}; \\ P_{n-1} = FP_{n-2} - GP_{n-2} + Iff(t); \end{cases}$$
(1)

где $i=1,2,\ldots,n-2;$ P , P_{n-1} — меновенные значения концентрации дырок в точках $0,1,\ldots,n-1$ дискретизации широкой n-базы прибора, F, G, H, B, C — постоянные, значения которых определяются электрофизическими и геометрическими параметрами прибора: t(t) — меновенное значение плотности тока.

Для получения математической модели ПР нопользованы результаты исследований, проведенных во Всесоюзном электротехническом институте имени В. И Ленина [1] согласно которым процесс перемагничивания ПР с достаточной для инженерной практики точностью можно описать системой уравнении:

$$\begin{cases} H(t) - H_0 - K_1 K_2 F^{-1}(B) \ U + K_3 U \} \ U dt; \\ F^{-1}(B) - [K_1 B(t)]^2; \\ B(t) = (\Delta B)_4 - B_r; \\ (\Delta B)_t = K_1 \ U dt, \end{cases}$$
 (2)

тде B, H(t) — меновенные значения индукции и напряженности магнитного поля; U — напряжение; ΔB , — средний перепад индукции за время t; B, — остаточная видукция, H_{κ} — значение H_{κ} — определлемое экспериментально — а равное $H=25\div35$ A/m [4]; K_{κ} , K_{κ} , K_{κ} , K_{κ} — постоянные, величина которых спределяется — гакими — нараметрам з HP, как активное с, чение сталя, индукция насыщения, толщина пластины, удельное магнитнос и электрическое сопротивления провода обмотки.

Третий член первого уравнения системы (2) определяет напряжениесть H_a магиптиого поля на поверхности стали («поверхностную» составляющую напряженности), а второй член «вяркостную составляющую H, воздействие которой проявляется только во втором и четвертом квалрантах прямоугольной нетли гистерезиса.

Системы уравнении (1) и (2), полученные на основе имеющихся представлений о физике явлений в моделируемых элементах преобразователя, в сочетании с условиями их решения позволяют рассматривать гиристор и ПР в качестве кусочно-гладких динамических систем, обладающих аналоговыми и дискретными свойствами.

В системе программ ELTRAN, рассчитанной на отображение линамических систем указанного гипа, в качестве деоретической модели использована расщепленияя кусочно-линейная система (КЛР-система)-КЛР-система «Тиристор» представлена на рис. 1а, а КЛР-система «Насыщающийся реактор»— на рис. 16. Каждая на них имеет в своем составе аналиговую (АНТ, АНРЕК), дискретную (АТПР, АРЕК) подсистемы и связывающего их блок аналого-цифрового преобразования (КОМПТ, КОМПР). Процессы в аналоговой подсистеме описываются нектором переженных состояния, а которую может входить любая электрическая цень, составленная из индуктивностей, резисторов, кондеисаторов, источников напряжения и тока, трансформаторов, а также идеальных ключей. Осо-

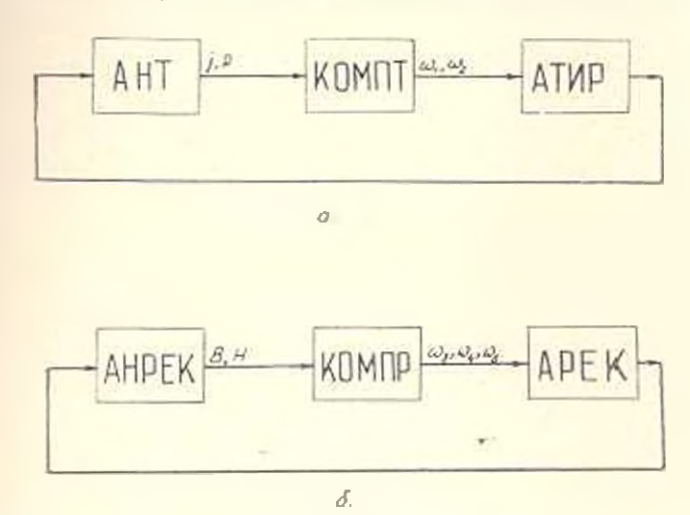


Рис. 1. Структурная ехема К/IP-системы а) «Тиристор»; б) «Насыщаюшийся реактор».

бенностью рассматриваемой подсистемы является ее способность отобразить любую функциональную цень (ФЦ), составленную из интеграторов, сумматоров, функциональных преобразователей и ключей, и, в частности, ФП, описываемые системами уравнений (1) и (2).

Дискретная подсистема представляет собой конечный автомат и описывается дискретным вектором состояния. Для представления этой водсистемы в ELTRAN предусмотрен полный набор булевых функций, а также элементарный конечный автомат триггер, что совместно с отсутствием ограничений на соединения функциональных блоков стальет возможность отображения любого конечного автомата.

Блок вналого-цифрового преобразования состоит из множества элементарных ячеек — компараторов, каждый из которых имеет по одному ана юговому входу и лискретному выходу, возбуждающемуся при переходе яходной функции f(t) через нуль, т. е.: $f(t) \neq 0$, $\omega_t = 0$; f(t) = 0, $\omega_t = 1$.

Общая схема функционирования КЛР-системы такова: выходные сигналы аналоговой поденстемы подаются на вход блока аналого-нифрового преобразования, который, исходя из характера изменения непрерывных переменных состояния, выделяет моменты переключений и формирует входные слова конечного автомага, состояние которого устанавливает значения параметров аналоговой поленетемы на очередной межкоммутационный интервал.

В качестве примера рассмотрим цифровое моделирование простейшей полежемы Т-ЗЦ (рис. 2a), представляющей собой последовательное соединение HP с тиристором, шунтированным демифирующей RC-пенью, согласно методике ELTRAN (RC-модель). Здесь принято, что величина и форма тока через тиристор до запирания его анодного p-a перехода определяется внешней пепью, т. с. реактором, а после — самим прибором, который на даняом этапе процесса выключения рассматривается как генератор тока ГТ-Т.

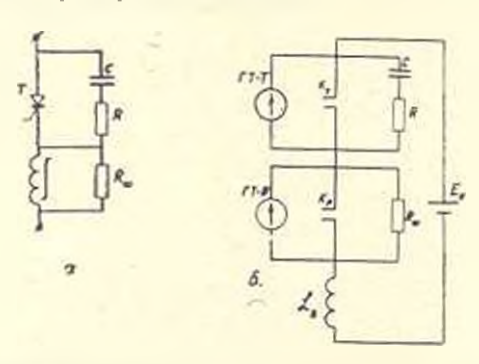


Рис 2 а) RC-пол. мема; б) моделируемая электраческая непь (ЭЦ-RC)

Электрическая цень, соответствующая принятым допущениям, приведена на рис. 26, где генератор тока ГТ-Р, яммитирующий ПР, эпределяет ток через прибор до момента — а ГТ-Т — после.

Лапге на рис. 26: K_n и — идеальные ключи, определяющие указанное заанмолействие ГТ-Р и ГТ-Т; R и C — элементы защитной неночки: R_n — шунтирующее реяктор сопротивление: E_k — напряжение коммутании: L_n — L_n — суммарная линейная индуктивность, учитывающая остаточную индуктивность реактора — и монтажа L_n .

С немостияя работа пелинейностей двоякого г ила (тиристир и ПР), действующих в рассматриваемой подсхеме Т-311, моделируется взаимодействием лвух функциональных неней: «Тиристор» (ФП-Г) и «Реактор» (ФП-Р), показанных, соответственно, на рис. За и рис. Зб.

Поденствма АПТ, предназначенная для решения системы уравнений (1) с соответствующими гравичными условиями [3] при п = 7, имеет в сноем составе семь сумматоров СО С6, два яз которых 1СО и С6) решают первое в последнее уравнения системы (1), а остальные (С1 С5) предназначены для выписления правых частей дифферен циальных уравнений той же системы. Сигналы с сумматоров С1—С5 подаются на интеграторы П1 П5, на выходе которых вырабатываются текуитие значения концентраций $P_4 - P_5$.

Подсистема КОМПТ состоит из компараторов КП, и КП, комтролирующих значение тока I и концентрации, и управляющих ключами К, К, при номощи которых обеспечивается реализация граназных условий, которые соответствуют текущему этапу переходного пропесса Сумматор С8 предназначен для вырабатывания величины IIII предтавляющей собой ток генератора ГТ-Т, выраженный в масштабе концентрации. Усилители С7 и С9 являются масштабирующими, причем

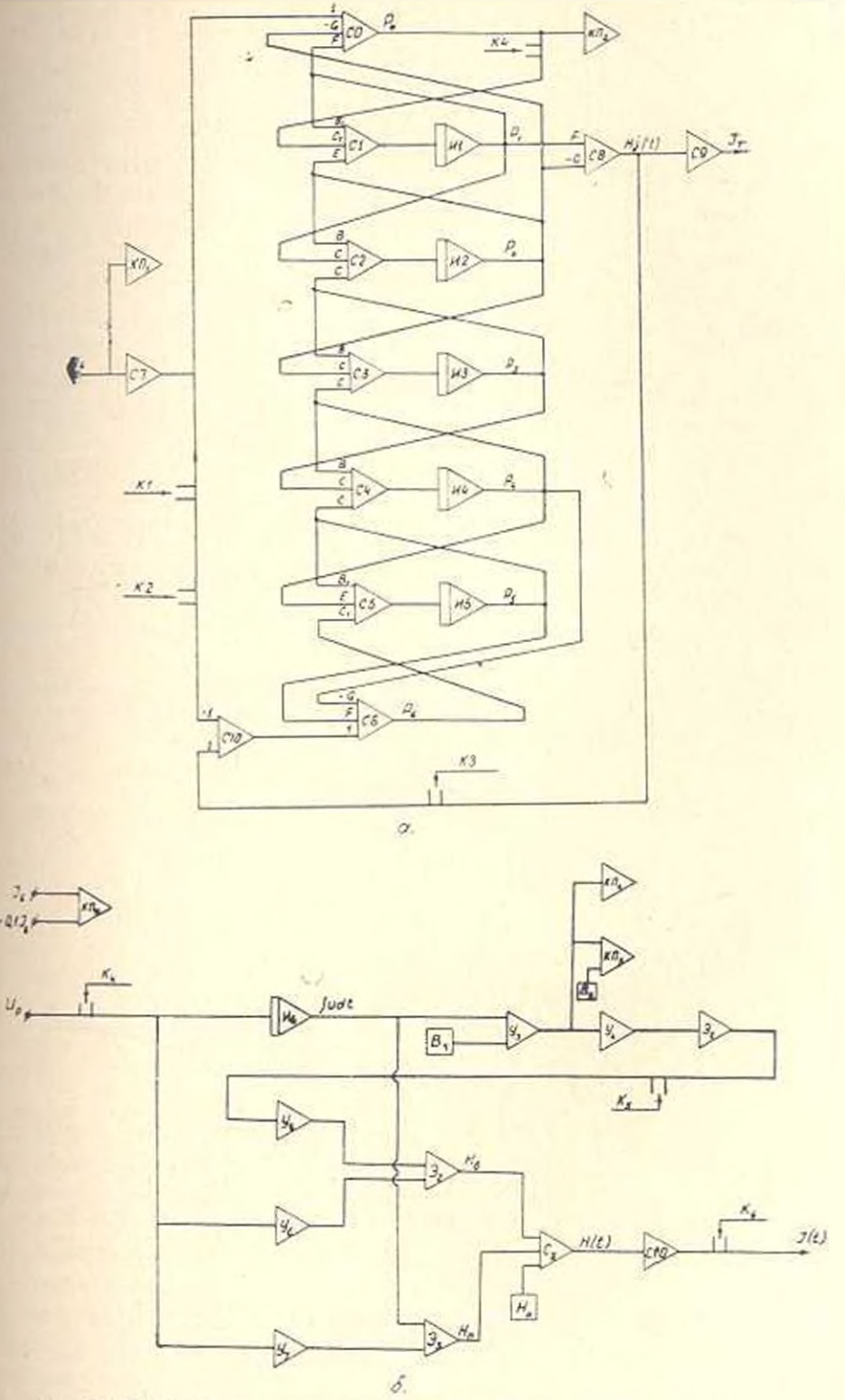


Рис. 3. Принципиальная схема КЛР-системы: а) «Тиристор»; б) «Насыщающийся реактор»,

функцией С7 является выражение гока в масштабе концентрации, а функция С9 обратная.

Аналоговая подсистема АНРЕК, предназначенная для решения системы уравнений (2), реализована и виде, показанном на рис 36. Включение ГТ Р происходит путем размывания ключа $K_{\rm p}$ (рис. 26) в момент, когда $H=-H_{\rm o}$ ($t=t_{\rm i}$). С этого момента к ФП Р начинает прикладываться напряжение и на выходе интегратора 116 происходит вырабатывание величины $\int Udt$, непользуемой для получения $H_{\rm n}$ и $H_{\rm o}$. Для получения $H_{\rm n}$ использованы усилители $V=V_{\rm o}$ а также элемент Э1, функцией которого является возведение в пятую степень.

Аля получения H_n необходимо умножить выходную величину усилителя Y_n на выходной сигнал усилителя Y_n что осуществляется элементом Э2. Вырабатывание поверхностной составляющей H_n производится с помощью усилителя Y_n и элемента Э3. В результате суммирования всех трех составляющих H_n , H_n , H_n , H_n напряженности магнитного поня, на ныходе сумматора C_n решается первое уравнение системы (2). 1. с. вычисляется величина H(t).

Подсистема КОМПР состоит из комнараторов КП₁, КП₄ и КП₄, первый из которых контролирует момент достижения индукцией зналения насыщения, второй — нулевого значения, а третий — H_0 . Ключи K_4 — K_4 , управляемые подсистемой КОМПР, обеспечивают работу модели, соответствующую принятой логике.

Форма тока через прибор в процессе его выключения, полученияя в результате испытаций рассмотренной модели, показана на рас. 1.

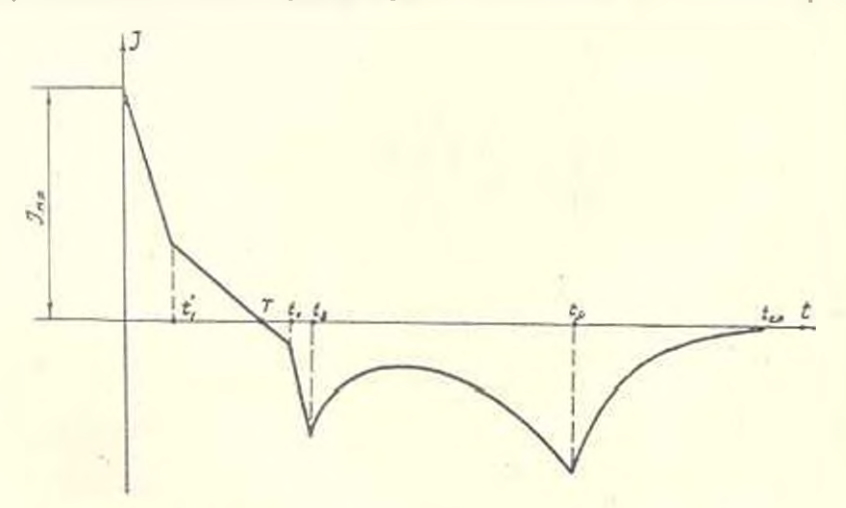


Рис. 4. Картина переходного процесса выхлючения тиристора.

Здесь изменение тока в интериали времени $t_i - t_i$ обусловлено работо реактора а режиме линейной инлуктивности $(B-B_i)$. Если в полинтериале $t_a = t_i$ спад тока определяется лишь линейной индуктивностых $L_i = L_0 - L_{\rm M}$. О в $t_i' = t_i$ индуктивности , присвоено значени $2\,L_0 + L_{\rm M}$.

В момент t_i происходит включение ГТ-Р (рис. 26). В момент t_i достижения P_o у аводного p-n перехода таристора пулевого значения происходит включение генератора ГТ-Т, что осуществляется посредством перевода ФЦТ (рис. 3a) в режим генерирования тока J_i .

Описанная методики моделирования использована для машинного расчета перенапряжений, возинкающих на тиристоре в RC подехеме грис. 2a) в ходе выключения прибора при различных гначениях элементов демифирующей цепочки R и C.

Цифровое моделирование подсхем Т-311 согласно методике El TRAN с применением моделей тиристора и реактора рассмотренных тивов создает возможность машинного знализа взаимосвязей самых разнообразных электрофизических и конструктивно-технологических параметров, характерных для различных элементов схемы преобразователя. Последнее в свою очередь может служить реальной основой для машинного решения широкого класса оптимизационных задач в отношении не только подсхем Т-311, но и всего преобразователя в целом по различным критериям, независимо от топологической сложности моделируемой схемы, а также количестиа нелинейности типа Тиристор» в «Насыщающийся Реактор».

Еріін им. К. Маркса

Поступнаю 22 ХИ 1978

H. L. THARBANA

«ՏԻՐԻՍՏՈՐ-ՊԱՇՏՊԱՆԻՉ ԴՐԻԱ ԵՆԻԱՍԽԵՄԱՆԵՐՈՒՄ ՏԵՂԻ ՈՒՆԵՑՈՂ ԱՆՑՈՂԻԿ ՊՐՈՑԵՄՆԵՐԻ «ԱՆԵՒ ՄՈԳԵԼԱՎՈՐՈՒՄԸ

Ասփոփում

նկարագրված է «Տիրիստոր-պատուպանի չղքա։ (Տ.ՊՇ) ենքասխենաենրում այն անցողիկ պրոդեսների մոդհյավորումը որոնք տեղի են ունենում տիրիստորի անջատման ընքացրում։ նույց է տրված մոդհլավորման օգտադործված եղանակի կիրառման մնարավորությունը լայն դասակառգի Տ-ԿՇ եննասիսնմաների վերլուծման օրագրերի ստադման մամար։

SHITEPATYPA

 Мустафа Г. М., Шаранов Н. М., Тангаса В. И. Система программ иля мотелироваияя устройств преобразовательной техники. «Электротехника». 1978; № 6.

- Кузьмин В. А. Мустафа Г. М., Минасян В. Л. Моделирование перехолного ароцее
 из выключения тиристора на АВМ. «Электротехническая промышленность. Пре
 образовательная техника», 1978. № 3.
- Кизьмин В. А., Минасян В. Л. Высокочастотная аналогомая модель процесса вы ключения тиристора. «Электротехническая промышленность. Преобразовательная техника», 1978, № 5.
- 4. Карасев В. В., Чванов В. А. Расчет нараметров демифирующих целей и задержи вающих реакторов инвертора тока. «Электротехника», 1977, М. 6.

Мырьтерий филир. ubrium XXXIII, № 1, 1980 Серия техонческих наук

ИЗМЕРИТЕЛЬНАЯ ТЕХНИКА

В. Р. ВАРДАНЯН

БЫСТРОДЕПСІВУЮЩИЕ ЕМКОСТНЫЕ ДАТЧИКИ ЛЛЯ РЕГИСТРАЦИИ ДАВЛЕНИЯ ВОЗДУШНЫХ УЛАРНЫХ ВОЛН

Давление воздушной ударной волны (ЛВУВ), меновенно нарастая, медленно опалает примерно по экспоненциальному закону (положительная фаза с длительностью (,,,). После прохождения воздушной волим наступает разряжение, при котором давление становится меньше атмосферного (отрицательная фаза) [1], поэтому регистивция ДВУВ требует применения первичных преобразователей, способных работать в динамическом и статическом режимах [1, 2]. Для анализь можно положительную фазу с большой точностью вироксимировать экслонентой [3]:

$$P(t) = P_m e^{-st}, \tag{1}$$

где F_{-} — пиковое значение ДВУВ; $\alpha = \frac{3 + 4}{t_{(-)}}$ — коэффициент затухания, величина которого определяется опытным путем.

Сигнал в форме (1) воспринимается чувствительным элементом датчика. Точность воспроизведения формы ДБУВ зависит от правильного выбора собственной частоты чувствительного элемента преобразователя. Передача сигнала (11 к чувствительному элементу датчика и его воспроизведение можно оценить с номощью частотного спектра данного сигнала [4]. Функция (1) удовлетворяет условию примечимости преобразования Фурьс и ее спектрафыная плотность равна!

$$S(\Omega) = \int P(t) e^{-tt} dt = \frac{P_m}{\alpha + i\Omega} = \frac{P_m}{1 \overline{\alpha^2 - \Omega^2}} - \frac{P_m}{1 \overline{\alpha^2 - \Omega^2}}.$$
 (2)

Полная энергия спектра сигнала будет [4]:

$$E_{\text{nois}} = \frac{1}{2\pi} \int_{-\infty}^{\infty} \left(\frac{P_{\text{min}}}{V_{\text{min}}} \right)^{2} d\Omega = \frac{P_{\text{min}}}{2\pi}$$
 (3)

С помощью равенства Парсеваля нетрудно вычислить эперсию в заданной полосе частот. Пусть «техническая» ширина спектра равна $\Delta\Omega (-\Omega + \Omega)$ а энергия, сосредоточенная в этой полосе [4]:

$$E_{m} = \frac{1}{2\pi} \widehat{\mathsf{I}} \{ S(\Omega) \mid d\Omega = \frac{P_{m}}{\pi} \operatorname{arctg} \frac{\Omega_{1}}{\pi}.$$
 (4)

Эпергия сигнала — составляет часть полной эксргии, т. е. E_{\perp} — На срявнения (3) и (4) можно получить спектор угловой частоты передаваемого сигнала

$$Q_1 = a \lg \left(3 \frac{\pi}{2} \right). \tag{5}$$

Численные результаты для граничной частоты спектра свыпала $f_{\rm cp}(\kappa T\eta)$ при различных значениях 3 и $t_{\rm col}$ (меек) приведены в габл. (значение в взято $\frac{3.6}{t_{\rm col}}$).

_							Таблица
1 0,95	f_{ip}	0.2 36,45	1 7.1	2 3,65	3 2.44	1,83	5
§ 0.96	f _{rep}	0.2 45,38	1 9.1	2 4,5	3,05	1,52	5 1,27
2 0,97	f_{rp}	0.2 60,8	12,2	2 6.1	3 4,06	3.02	5 2,11

Пля неискаженной записи импульсов малой длительности необходимо иметь первычные преобразователи с собственной частотой колебаний чувствительного элемента больше, чем граничная частота спектра [5, 6]:

$$f_0 = (3 - 5) f_{\rm cp}. \tag{6}$$

Из-за инсридонно-ти датчика возникает передний франт выходното сигнала, веледствие чего появляется погрешность измерения никового значения:

$$\tau = \frac{\Delta P}{P_m} \cdot 100^{n_0} \approx (1 - e^{-\frac{4 \cdot 4}{I_{(-)}} \cdot I_{(0)}}) \cdot 100^{n_0}.$$

Длительность фронта зависит от собственной частоты чувствительного влемента. При t=25 мксек по ныражению (7) погрешность инкового значения ЛВУВ составит $\delta=(3.6\pm5.0)\%$. Как показывают расчеты, для регистрации инкового значения импульса ДВУВ е длительностью 1 мсек и допускаемой погрешностью 5% собственная частота первичного чувствительного элемента должна быть $t_0=71.2$ кF ц.

Для регистрации импульсных давлении могут быть применены разные датчики (резонаторные, емкостные, выезоэлектрические, теизорезисторные и др.) [1, 2, 7]. Емкостные датчики (ЕД) по ряду преимуществ выгодно отличаются от остальных.

В [2] описана конструкция универсальной измерительной емкостной головки, где возможно применение мембран разной толщины и материалов, позволяющих получить датчики разных пределов измерения. Недостатками указанного датчика являются недостаточная герметичность и нежесткое защемление мембран е корнусом. Из-за последнего эксперименты по определению всличины / показали, что имеется значительное расхождение между георетическими и экспериментально определенными частотами.

На основании экспериментальных данных можно в общензвести ю формулу определения / пичети коправку ц²:

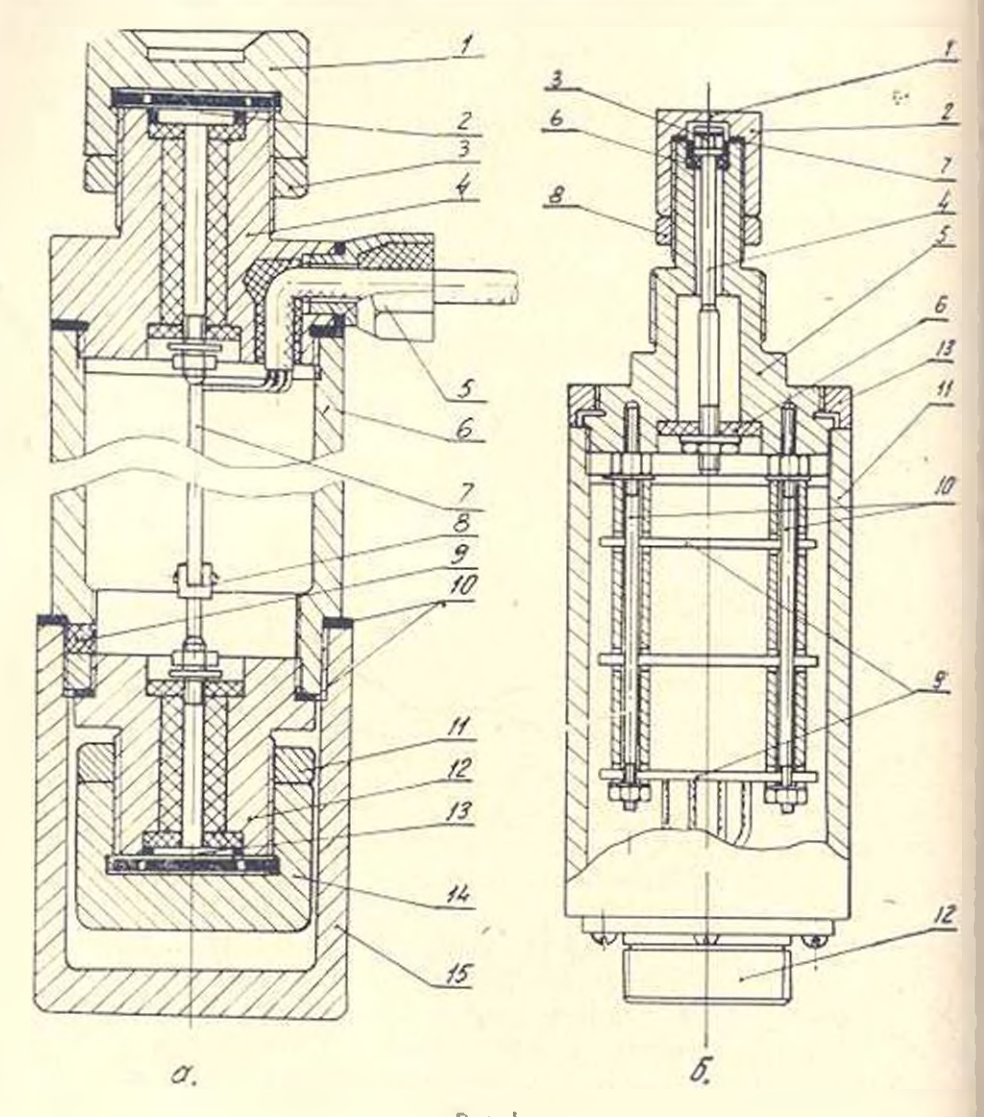
$$f = \frac{K^2 \mu^2 h}{2\pi r} \left[\frac{E}{12 (1 - \nu^2) \, \mu}, \right]$$
 (8)

тле K=3.196 — коэффициент частоты; $\alpha=\lfloor\frac{f_p}{f_p}\rfloor$ — поправочный коэффициент, определяемый по экспериментальным и расчетным частотам упругого элемента f_a , f_p ; r, h — раднус — толицина мембраны; v — коэффициент Пуассона; b — модуль упругости; ρ — илотность материала.

Коэффициент и характеризует расхождение между расчетной и экспериментально определенной частотами. Для EA с аставными мембранами [2], в среднем $\mu=0.72$.

Повышение собственной частоты колебания можно получить при применении цельнометаллических колпачков-мембран. Результаты анытов ЕД с головками по рис. 1, а и б покадали, что поправочный коэффициент для цельнометаллических колпачков $\mu = 0.81$, г. е. значительно выше, чем при вставных мембранах. Эти датчики по сравнению 🗈 [2] отличаются по емкостным головкам и по конструкции в нелом. Неподвижный изолированный электрод 2 (рис. 1, а) закрепляется в верхней части корпуса 4. На этот корпус навинчивается колначок-мембрана 1, положение которого фиксируется контргайкой 3, При помощи шайбы из медиой фольги, прокладываемой между верхней поверхностью корпуса и колначком, обеспечивается необходимый емкостной зазор. С нижией стороны защитного экрана 6 закрепляется аналогичная емкостная компенсационная головка (элементы 11-11). Ванау корпуса измерительной головки 4 прикрепляется печатная плата 7. С лусодом 8 печатной плазы, через отверстве 9 припанвается патырь комленсацюнной емкостиой головки. В овязи с очень большой чувствите накостью, компенсанновная головка дополнительно предохраняется ващитным колначком 15. Интанне и вывод сигнала ЕД осуществляется проводами с боковой стороны датчика через муфту сальника э.

На рис 1, 6 показан Е.Д. предусмотренный для измерения импульсных сипиплен в закрытых объемах. Преимуществом такого дагчика является наличие плоской измерительной головки, столь необхотимой



Pac. I.

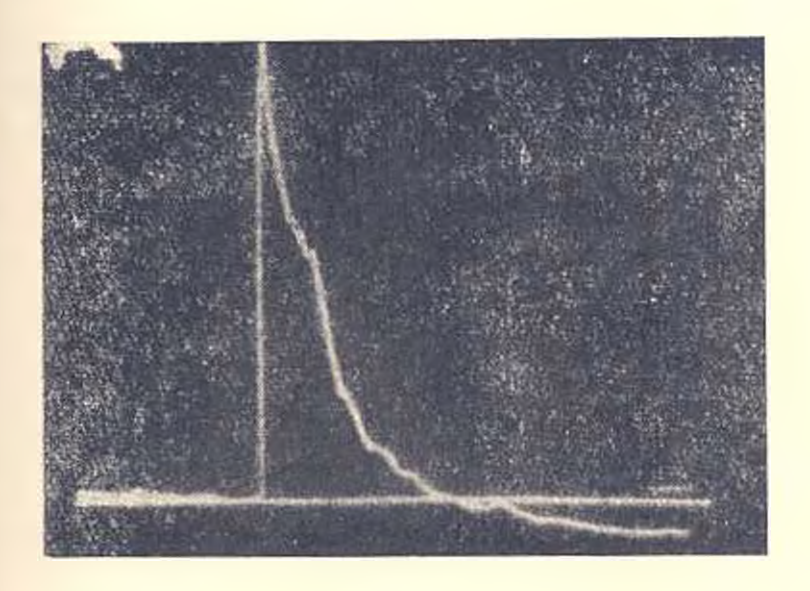
для регистрации вроходящего ДВУВ, и малые габаритные размеры Колначок мембрана 1 внутря имеет цилиндрическое углубление, позволяющее одинаково регистрировать как давление, так и разряжение. Детали измерительной емкостной головки такие же, что и для датчика с компенсационной толовкой (рис. 1. а). Схема измерения собрана на двух дискообразных печатных платах 9, закрепленных с корпусов 5 имплыками 10. Межлу двуми платами имеется экран из латуни. Выволы осуществлены с нижией стороны цилиндрического корпуса 11 через разъем 12. Корпус измерительной головки 5 с экраном 11 закрепляется клитргайкоп 13, необходимой при ударных нагрузках. Для повышения чувствительности рассмотренных датчиков часть виздушного зазора заменяется слоем слюды определенной толшины.

Схема измерения обоих ЕД состоит из высокочастотного ганера-

тора с квирневой стабилизацией, измерительного моста, операционного усилителя на микросхеме и согласующего устройства в виде эмиттерного повторителя [3].

Неинвертирующий вход операционного усилителя подключен к потенциометру, который поэволяет каждый раз перед эксигриментом на выхоле схемы установить исобходимое напряжение. Такая возможность и наличие компенсационной головки (рис. 1, а) поэволяют нормальную работу ЕД при г.м. иливи температуры окружающей среды в пределах —20°C = 1-35°C. При помощи специально разработанной установки в климатической камере, в динамическом режиме для указанного диапазона температур, проверено наменение чувствительности датчика, которое не превышало 2 = 3%.

Для регистрации положительной и отрящательной фаз ДВУВ на выходе датчика устанавливается напряжение величиюм $U_{\rm out}=1.5~B$. При других выходных напряжениях чувствительность ЕД несколько меняется.



Parc. 2.

При дюралюминизвых мембранах с днаметром 18 мм, то шиниой 2 мм и 3 мм (рис. 1, а) экспериментально определенных собственные частоты колебания, соответственно, были 11 и 59 кI μ . Указанные датчихи изготоялены для двух пределов давлений =0.1-1.5~B/ксс гм-и $=0.2\pm0.3~B$ /кес гм-

Колначки мембраны датчика рис. 1, 6 были изготовлены ил силава титана (ВТ-14, ВТ-15); при диамятре 8 мм и толшине 1 мм, он показали собственную частоту колебаний в пределах $87-95~\kappa F \mu$. Они также были предназначены для двух дианалонов давления: $0.5 \div 30~\kappa e^{i} c$ и $10 \div 150~\kappa e c \mu$ с чувствительностью, соответственно, $0.15 \div 0.2~B^i \kappa e c$ сиг и $\sim 0.05~B^i \kappa e c/c$ м. ЕД рис. 1, б при наличии охлаждающей водяной рубански у циландрического корпуса позволили пормальную работу в дизелях при температуре измерительной головки в пределах + 20°C ÷ + 100°C и показали вполне удовлетворительные результаты.

Компенсационные ЕД по рис. 1, а в полевых условиях были испытаны для регистрации. ДВМВ (осциялограмма на рис. 2). Для дюралюмивневых мембран голщиной 2 мм фронт зарегистрированных воля не превышал 25 мксек. Максимальная погрешность по ликовому значению импульса составила менег $(4 \div 5)\%$. Запись осциялограмм, полученных при регистрации падающего шарика на мембрану (рис. 1, 6), ноказала, что полученный фронт не превышает $10 \div 12$ мксек.

ЕД градупровались на гидропрессе и имели липейную зависимость «вкод выход».

վ. Ռ. ՎԱՐԳԱՆՑԱՆ

ՕԳԻ ՀԱԲՎԱԾԱՅԻՆ ԱԼԻՔՆԵՐԻ ԺՆՇՄԱՆ ԳՐԱՆՑՄԱՆ ԱՐԱԳԱԳՈՐԾ ՈՒՆԱԿԱՅԻՆ ՀԱՅՏՆԻՉՆԵՐ

that dendences

Հողվածում դիտվում են օրի Հարվածույին այիրների Տնչման (02ԱՃ) դրանցման ժամանակ դղայուն էլեմենանի տեփական տատանումների հաճախականության որոշման Հարցեր։ Բերվում են մեմբրանների սեփական տատանումների համախականության որոշման հշրրաման հրդաները մեկր հրադարձված է հրմանականության որոշման հշրրաման դուծակային հայտնիչի (ՈՒՀ) նրկա կոնսարուկցիաներ, որոնցից մեկր հրադարձված է կոմպենսավորող դյիսիկով և ապահովում է նրա նորմալ աշխատանրը բարդ կլիմայական պայմաններում ջերմաստիճանի մեծ անկման ժամանակ (-20°C մինչի-35 C)։ Դինամիկական ռեժիմում, նշված սահմանների համար դղայունության փոփոխությունը կաղմում է ընդամենը 2-3%։ Մշակված հայտնիչները ունեն բարձր վիբրակայանություն և ամրաքիների համանակում Հայանիչները ունեն բարձր վիբրակայանություն և ամրաքիչուն։ Գյուրալյումինումից պատրաստված մեմբրանները հնարավորություն և տայիս գրանցելու 02ԱՃ, որի աղդման հակատը մեծ չէ 25 Որվով։ Տիտանի համաձուլվածից պատրաստված ժեմբրանները, որոնց դդայուն էլև մենաի տրամագիծը 2 ևև է, իսկ հասատվունը և մեկ, ունեն 87÷95 կՀց ուժական տատանումների հաճախականությունը

ЛИТЕРАТУРА

- 1. Андреев К. К., Белисо А. Ф. Теория взрывчатых пеществ. М., Оборонена, 1960.
- 2 Варданян В. Р. и др. Емкостной датчик для регистрации параметров давления возлушных ударных воли. «Приборы и системы управления», 1975, № 6.
- Разриботка измерительных преобразователей имиульсных диалений. Отчет нив. ном. Б612056. ЕрПП. 1977.

- 4. Каноровский И. . Разнотехнические цепи и сигналы М., «Солетское разно- 1971
- 5 Недин В. В., Кривцов В. А. Измерение завления, возникающих при парыве метиллических порошили в статических варывных камерах. Киев, «Паукова думка», 1971.
- болодкия Ю. Н. Методы ападида и расчета дипомических потрешностей першиных преобразователей при помощи периодических и одиночных импульсов Алтореф, кака писсерт. Новосибирск, 1969.
- 7 Варданяя В. Р. Торол г. льный резонаторный датчик папления возлушных ударных поли «Приборы и системы управления», 1973. М. 11.

Տեխնիկական գիտութ, սեբիս

XXXIII, Nº 1, 1980

Серия технических паук

измерительная техника

В. О. ВАНУНИ, С. Д. ТРИФОНОВ

ФОТОЭЛЕКТРИЧЕСКИЙ ИЗМЕРИТЕЛЬ ДИАМЕТРА ПРОВОЛОЧНЫХ МАТЕРНАЛОВ

Фотоэлектрические устройства, применяемые для измерения днаметра провода и голицины изолящнонного покрытия, чрезвычайно разнообразны в отношении конструктивного исполнения и схем модуляции светового потока. Наряду с механической модулящей в измерительной технике стали применять модулящию, осуществляемую изменением нараметров самого излучателя, что позволило повысить точность измерений и увеличить их эксплуатационную надежность [1]

В работе рассматризаются происссы, протекающие в фотоэлектрическом устройстве для измерсиня диаметра проволочных материалов и толщины изоляционных покрытий, и котором используется дзухканальный электроинтический модулятор. В одном на его каналов имеется дополнительный сдвиг по фазе. Светочувствительный элемент реагируст ня суммарный световой поток от двух модулированных источникон излучения, величина перекрытия каждого из которых контролируемым объектом, расположенным между фотоприемилком и источниками
излучения, однозначно определяет его размер и положение в пристранстве [2].

Эшюры последовательной обработки сигнала в измерительной пели и цени обратной связи следящей системы устройства представлены на рис. 1.

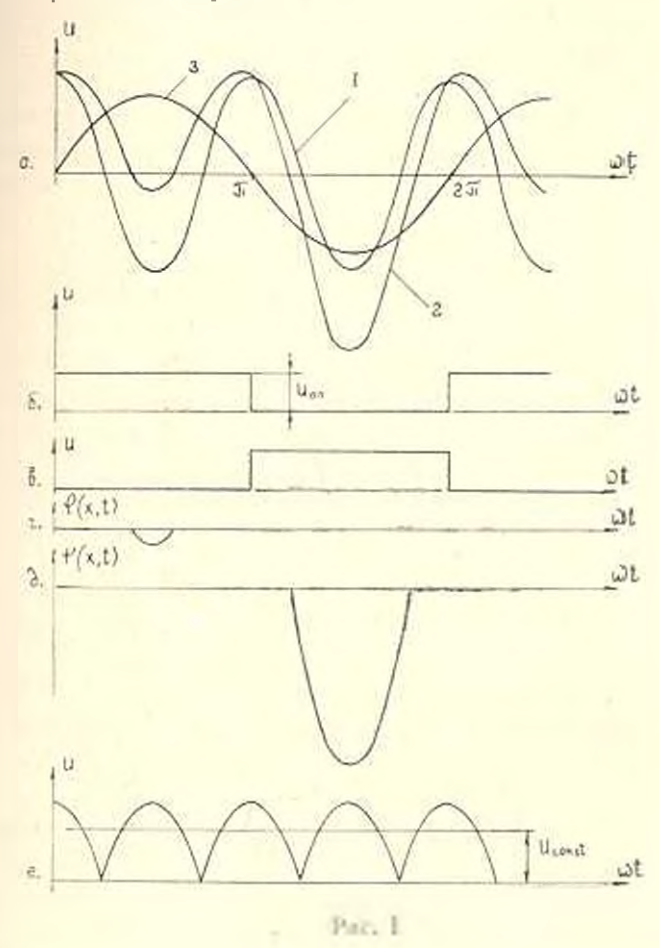
Нередаточная функция рассматриваемого устройства может быть определена с учетом характера наменения светового потока, налучаемого ламной накаливания. Приближенное описание динамики тепловых процессов в ламне и характера изменения излучаемого светового потока можно получить методами электрического моделирования [3].

Если рассматривать ламну накализания с вольфрамовой итью как инерционное звено и преисбречь потерями энергии за счет коявскливных процессов и теплопроводности токоподводящих стержией лампы, то электрический аналог, моделирующий тепловой процесс а лампе, можно представить схемой замещения в виде параллельно включенных емкости С и резистора R, имеющих смысл теплосмкости и радиационного сопротивления.

В этом случае раднационное сопротивление равно

$$R = \frac{T - T_0}{E} = \frac{T - T_0}{\cos S (T^4 - T_0^4)},$$
 (1)

гле T — начальная и текущая температуры нити пакаливания; о постоянная Стефана— Больцмана; E, ε , S — энергия, коэффициент и площаль поверхности излучения.



Передаточная функция рассматриваемого звена в операторной форие (по Ланласу Карсону) имеет вид

$$z = \frac{(T - T_0) p}{\pi \epsilon S(T^1 - T_0^2)(1 + CRp)}.$$
 (2)

С учетом того, что $T\gg T_{\rm m}$ выражение (2) упрощается

$$z = \frac{\rho}{\sigma \iota ST^{2}(1 + CRp)}.$$
(3)

На вход одного из каналов электроонтического преобразователя (внерционного RC — звена) подается сигнал вида $U=U_{\rm e}$ sin ωt при $0\leqslant \omega t$ — и U=0 при $=\leqslant \omega t\leqslant 2$ —, а на вход другого — со сдвигом по фазе на л. Монциость, подводимая к лампе накаливания для одного канала равна

$$P_1(t) = P_0 \begin{cases} \sin^2 \omega t, & 0 < \omega t < \pm, \\ 0, & \pm < \omega t < 2\pm, \end{cases}$$
(4)

а для другого -

$$P_{\pi}(t) = P_{\theta} \begin{cases} 0, & \pi_{\tau} \\ \sin^{2} mt & \pi_{\tau} \end{cases}$$
 (5)

Разлагая выражения (4) и (5) и ряд Фурье и пренебрегая членами пысшего порядка, получим для обоих каналов, соответственно:

$$P_1(t) = P_0(A - B\sin \omega t + D\cos 2\omega t); \tag{6}$$

$$P_{\sigma}(t) = P_{\sigma}(A - B\sin \omega t - D\cos 2\omega t). \tag{7}$$

Операторное уравневие для температуры Т с учетом (3) вчест виз

$$T^{r}(p) = \frac{p}{\#S(1 + GRp)} P(p). \tag{8}$$

Подставна выражения (6) я (7), предварительно записав их в операторной форме, в уразнение (8), получим:

$$T_{+}^{+}(p) = \frac{P_{\sigma}\rho}{\sigma\varepsilon S(1 - CR\rho)} \left(A - B\frac{\omega\rho}{\omega^{2} + \rho^{2}} - D\frac{\rho}{4\omega^{2} - \rho^{2}}\right); \tag{9}$$

$$T_{2}^{1}(p) = \frac{P \cdot p}{2\pi S \left(1 + CRp\right)} \left(A - B \frac{mp}{m^{2} - p^{2}} - D \frac{p^{2}}{4m^{2} - p^{2}}\right). \tag{10}$$

Оболначив постоянную времени инерановного звена $RC = \tau$ и полагая процесс установнящимся $(t \to \infty)$, найдем оригиналы операторных функций:

$$T_1^+(t) = \frac{P_0}{\pi \epsilon S} \left(A - \frac{B}{\pi} \sin \omega t + \frac{D}{2\pi} \cos 2 \omega t \right);$$
 (11)

$$7! (t) = \frac{P_a}{S} \left(A - \frac{B}{S} \sin \omega t + \frac{D}{2} \cos 2\omega t \right)$$
 (12)

Постоянную времени т в общем случае следует рассматравать как функцию температуры пити накальнания $\tau = R(T)C(T)$, причем вельчина т оказывает влияние только на амилитуды переменных составляющих температуры T_{-} и T_{2-} . Однако, если учесть, что T_{2-} $< T_{c}$ гле T_{c} — средния температура нити, то при расчете характеристик взлучения в качестве T можно принимать среднюю температуру T_{c} и по ней определять величины теплоемкости и подводимой мощности

Поскольку излучаемая унергия в единицу времени (бел учета потерь на генлопроводность элементов ламиы и конвективный тенлообмен) равна подводимой мошности оботь выражение для потока, излучаемого одной нятью ламиы накаливания, можно представить в ниде

$$\Phi_1 = P_0 \left(A - \frac{B}{\pi} \sin \omega t + \frac{D}{2\pi} \cos 2 \omega t \right) . \tag{13}$$

а для второй пита (с учетом фазового сдинга питающего напряжеиня):

$$\Phi_2 = P_0 \left(A + \frac{B}{2\pi} \sin \omega t + \frac{D}{2\pi} \cos 2 \pi t \right)$$
 (14)

Световые потоки Φ_1 и Φ_2 проецируются на светочувствительную поверхность одного фотоприемника, причем ясличина перекрытия каждого из них определяется диаметром провода и его положением я пространстве. Суммарный световой поток, падающий на фотоприемник, равен

$$\Phi = \Phi, \left(1 - \frac{b + x}{a}\right) + \Phi_{\pi}\left(1 - \frac{b - x}{a}\right), \tag{15}$$

где 2b — голицина провода; 2a — ширина щелевой днафрагмы фотоприемника; x — величина смещения проскции провода относительнооси симметрии лиафрагмы фотоприемника.

Полагая, что ток, протекающий через фотоприемник, пропориновален величине светового потока ($t = \mu \Phi$), падение напряжения на вагрузке R_{μ} равно

$$U = IR_0 = \mu \oplus R_0. \tag{16}$$

Подставив в (16) мачения Φ_0 , Φ_1 и Φ на (13) — (15) и учитывая, что сигнал, проходы через разделительный конденсатор, освобождается от постоянной составляющей и усиливается апериодическим усилителем с коэффициетом усиления k, получим аналитическое выражение сигнала на выходе усилителя

$$U = f(x, t) = kaR_0 P_a \left[-2B \frac{1}{a} \sin \omega t - D\left(1 - \frac{a}{a}\right) \cos 2\omega t \right] \cdot \frac{1}{a}$$
 (17)

Зависимость (17) показана на рис. 1а для значений x/a = 0 и 0,2 при в a = 0.5 (кривые 1 и 2); кривая 3 соответствует опорному напряжению $U_{\rm min}$ на входах схем совпадения устройства (рис. 16, в)

Приравияв производную $I^*(x, t)$ нужно и решив уравнение относительно ωt , получим

$$mt = \frac{\pi}{2} + n\pi, \quad n = 0, 1, 2, \cdots$$
 (18)

За критерий предельно допустимого веромещения провода с измерительной позиции можно считать отсутствие одного из максимумов кривой, описываемой выражением (17).

Подставив значение (18) ири n=0 и n=1 в (17), можно записать, что максимальные значения сыгналов обратной связи на выходах схем совпадения q(x,t) и $\phi(x,t)$ (рис. 1г, д) равны:

$$\tau_{\max}(x) = kaR P_0 \left[-2B \frac{x}{a} - D\left(1 - \frac{b}{a}\right) \right] \frac{1}{z}; \tag{19}$$

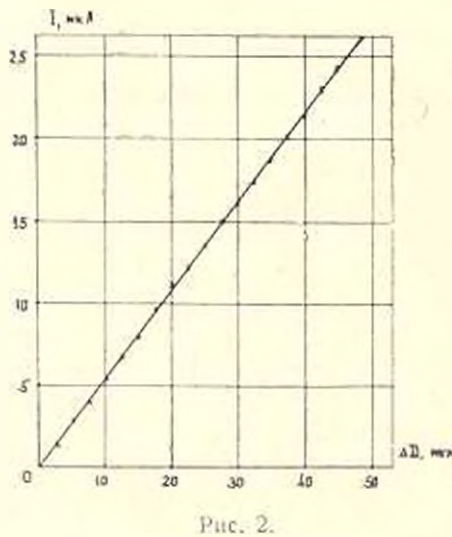
$$\phi_{\max}(x) = kaR_a P_0 \left[2B \frac{x}{a} - D\left(1 - \frac{a}{a}\right) \right] \frac{1}{a}$$

Разность функций (19) и (20) используется в цани обратной св зи привода поперечного перемещения устройства для совменения остримметрии фотоприемника и контролируамого провода.

Передаточная функция при этом записывается:

$$V = \frac{4 \ln R_{\rm B} P_{\rm o} B}{az} x, \tag{21}$$

а выпрямленный измерительный сигнал имеет вид, представленный ш вис. 1e.



Применение замкнутой следяще системы с передаточной функцией пропорциональной входному воздействию, позволяет за счет несущественного усложнения механики измерительного устройства упростить схемное неполнение и улучшить его метрологически, характеристики.

Экспериментальные исследорания устройства показали (рис. 2), что оно имеет линейную выходную характеристику, помехоустойчиво при измерении диаметральных рамеров проволочных материалов и

толщины нанесенных на них изолящивных покрытив обеспечивает чузствительность порядка 500 мкл/мкм.

ВИИИ Электроприво г

14 жтупнаю 20 V 11 1978

यु. इ. युग्रक्ताधक, ए. १८ **१८ ४८७५**८७वर्ष

ՄԵՏԱՂԱԼԱՐԱՅԻՆ ՆՅՈՒԹԵՐԻ ՏՐԱՄԱԳԾԻ ՖՈՏՈԼԻԿՏՐԱՐԱՐ ՇԱՒԱՐ ՀԳԵՍ

Ulafinalinia

Քննարկվում է մետադալարային նյուների արամացծի լափումը <mark>հոտո-</mark> ելեկարական երկկանալային ամպլիտուղա-ֆաղային փոխակերպիլի <mark>միջո-</mark> դով, որի մեկ կանալում գոլություն ունի ֆազի լրացուցիլ տեղաջարժ։

Բերված են էլեկտրաօպտիկական փոխակհրարչի փոխանցական Ֆունկ ցիայի շաչվումը, նկատի ունենալով լույսի աղբյուրի չերմային պրոցեսի որնամիկան, և նրա փորձառական ստուգման արդյունընհրդ։

ЛИТЕРАТУРА

- Воронцов Л. И Фотоэлектрические системы контроля линейных величин. М., «Машиностроение», 1965.
- 2. Гаушко А. Б. и др. Устроиство для определения координат центра отверстия летали. Авт. свид. 313078, М. кл. G 01 В 11/02, 1971.
- 3 Канябелл Д. П. Динамика процессов химической технологии. М., ГН-ТИХЛ, 1962.

Серия технических наук

ГИДРАВЛИКА

М. А. АКОНЯН, Г. М. ТОРГОМЯН

РАСЧЕТ ПОЛЯ СКОРОСТЕЙ ОЗЕРА СЕВАН МЕТОЛОМ МАТЕМАТИЧЕСКОГО МОДЕЛИРОВАНИЯ

Для изучения численными методами циркуляции вод оз. Севан аримем квалитеострофический баланс сил и воспользуемся личейной днагпостической моделью [1].

Рассмотрим водоем, наполненный бароклинной жидкостью. Форма береговых очертаний и рельефа дна произвольны, береговые границы твердые. На поверхности водоема задано касательное напряжение вегра. На поверхности принимается условие отсутствия вертикалыной составляющей скорости

а на тие водоема — условия прилипания

$$a_{z-H} = v_{z-H} = 0. (2)$$

Пренебрегая притоком и стоком в озеро, принимается условие непротекания воды через твердые границы водоема, т. с. приравнявается нувмотон отонкой кальная составляющая полного нотока

$$\int_{0}^{H} u \ dz = 0 \qquad \text{a.i.i.} \qquad \int_{0}^{H} v \ dz = 0. \tag{3}$$

Тогда вычисление скоростей течения может быть сведено к видаче определения уровенной поверхности $\zeta(x,y)$ или функции долных потоков \((x, y) [1]

Линейная диагностическая модель динамики внутреннего водоема представляет собой линейное дифференциальное уравнение эллинтического типа Π порядка для $\psi(x,y)$ (пли $\xi(x,y)$) и соотвошения для определения по ц(х, и) (или ц(х, и) горизонтальных составляющих скоростей и в е:

$$\frac{1}{2\pi} \Delta^{2} - \frac{\partial H}{\partial y} \frac{\partial S}{\partial x} + \frac{\partial H}{\partial x} \frac{\partial S}{\partial y} =$$

$$- \frac{H}{I_{Q_{0}}} \left(\frac{\partial z_{y}}{\partial x} - \frac{\partial z_{x}}{\partial y} \right) - \frac{q}{2\pi i_{0} l} \int_{0}^{H} \Delta x dz =$$

$$+ \frac{S}{I_{Q_{0}}} \left(\frac{\partial H}{\partial y} \int_{0}^{H} z \frac{dS}{\partial x} dz - \frac{\partial H}{\partial x} \int_{0}^{H} z \frac{dS}{\partial y} dz \right)$$
(4)

Так как на границе водоема расходы воды приравнены пулю, то для $\psi(x,y)$ имеем граничное условие $\psi_v^-(x,y)=0$.

Начало координат помещено на невозмущенной поверхности полоема, ось x направлена с запада на восток; y-c юга на север, z- вертикально вниз; $\Delta +$ плоский оператор Лапласа; $\rho -$ аномалия плотности; $\rho_{\delta} = 1$ г/см²; l = 2 омиф нараметр Корнолиса; v + коэффициент вертикального турбулентного обмена; τ_x и τ тангенциальные напряжения ветра; H - глубина; $\alpha = 1 + \frac{1}{2\alpha}$.

Хотя задача определення инркуляции в водоемах сводится к опрелению одной из двух равнозначных функций: уровенной поперхности $\xi(x,y)$ или функции полных нотоков $\psi(x,y)$, в работе предпочтение отдано последней. В эсновном, это определялось простотой граничного условия $\psi_r = 0$ гогда как \mathbb{Z}_r $\{x,y\}$ на границе необходимо определять из системы дифференциальных уравнений 1 порядка [1].

Для численного моделирования циркуляции оз. Севан покрыто трехмерной сеточной областью. По вертикали озеро разделено на 12 горизонтов (0, 1, 3, 5, 10, 15, 20, 25, 30, 40, 50, 60 м) и на каждом ит них наиссена сетка шагом в 1 км. Данная сеточная область, на наш вигляд, является оптимальной для озера Севан, достаточно подробна как для писания термических и динамических характеристик озера, так и для численного решения уравнения (4) методом сеток, позволяет эффективно использовать оперативную память ЭВМ, не усложияя программу расчетов. Составление разностной схемы, аппроксимация левой и правой частей уравнения (4) и итеративный метод решения полученной системы алгебранческих уравнений методом Гаусса—Зейделя достаточно подробно наложен в [1].

По рассчитанному полю функции полных потокой ф(х, ц) можно вычислить горизонтальные составляющие скоростей течения на каждом по расчетных горизонтов по формулям:

$$u(x, y, z) = \frac{e^{-\sigma z}}{2\pi a} \left[(z_y - z_z) \sin \alpha z \right]$$

$$= \frac{\pi}{l z_0 H} - \frac{1}{H} \frac{\partial z}{\partial y} - \frac{\pi}{z_0 l} \left[\int_{z_0}^{H} \frac{\partial z}{\partial y} dz - \frac{1}{H} \int_{0}^{H} \frac{\partial z}{\partial y} dz \right]$$
(5)

$$v(x, y, z) = \frac{e^{-\tau z}}{2\pi v_0 v} \left[(\tau_x + \tau_y) \sin zz - (\tau_y - \tau_z) \cos zz \right] + \frac{1}{H} \frac{\partial v}{\partial x} - \frac{z}{v} \left[\int_{-\pi}^{H} \frac{\partial v}{\partial x} dz - \frac{1}{H} \int_{-\pi}^{H} z \frac{\partial v}{\partial x} dz \right]$$
 (6)

Малый шаг сетки по горизонтали (1 км) позволяет определять вертикальную составляющую скорости w(x, y, z) испосредственно из уравнения неразрывности. Для w(x, y, z) заданы два граничных условия—

на поверхности и на дне. Чтобы использовать одновременно оба граничных условия, повышаем порядок уравнения неразрывности, дифференцируя его по г:

$$\frac{\partial^2 w}{\partial z^2} = -\frac{\partial}{\partial z} \left(\frac{\partial u}{\partial x} + \frac{\partial v}{\partial y} \right)$$

Производные в правой части уравнения (7) аппроясимируются центральными разностями.

На ЭВМ ЕС-1022 был проведен расчет функции полных потоков и скоростей течений оз. Севан. Поле плотвости, иопользованное в расчетах, строилось вручную, качественно согласуя изотермы с изобатами, по данным температурных наблюдений в августе 1961—1965 г.г. Поле ветра над озером взято типичное для летнего сезона.

Использование вдное мелкого шага горизонтальной сетки по сравнению с [2, 3] нозволило получить более детальную картину течений. На рис. 1 видны два независимых циклонических круговорота вод

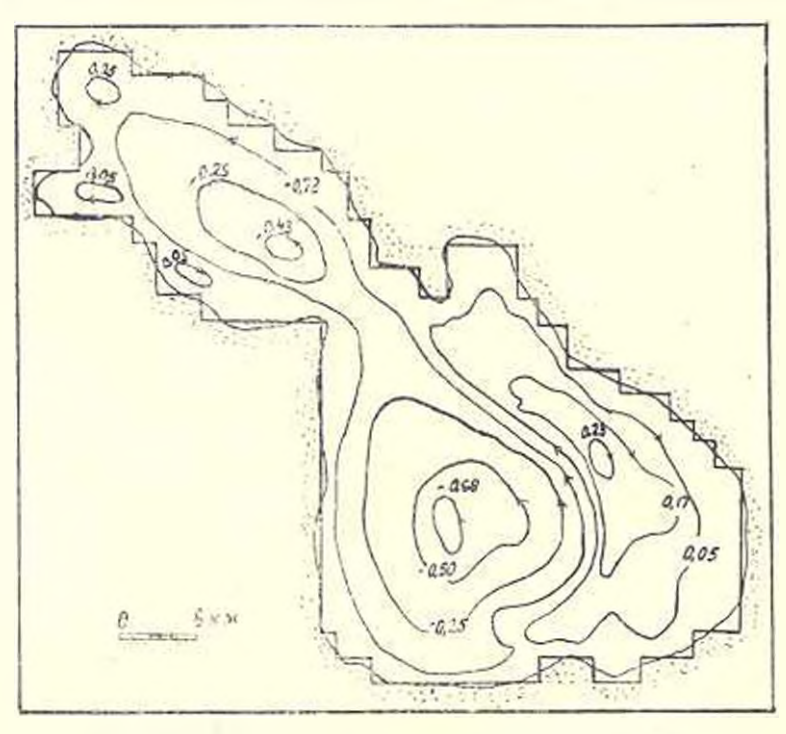


Рис. 1. Функция полных потоков $\psi(x, y)$ в 1010 смо/с.

Большого и Малого Севана В Большом Севане средняя скорость циркуляции волы на поверхности достигает 8—9 см/с, на горизонте 10 м скорость уменьшается до 4—6 см/с, а в придонных слоях — менее 1 см/с. Воды Малого Севана охвачены циклоническим круговором со скоростью течений на поверхности 5—6 см/с., с глубиной скорость быстро уменьшается, достигая 1—2 см/с, на горизонте 10 м. В Большом Севане преобладает граднентная составляющая скорости, а в Малом — дрейфовая. На рис. 2 видно интененвное струйное течение из Вольшого Севана в Малый со средней поверхностной скоростью 12—14 см/с.

Обмен водой между двумя частями озера происходит вдоль берегов пролива. Скорость течения воды в средниной части пролива мала, почти не меняется с глубиной и, в среднем, равна 1—2 см/с. Интегральный перенос воды через пролив составляет около 1,7·10° см²/с.

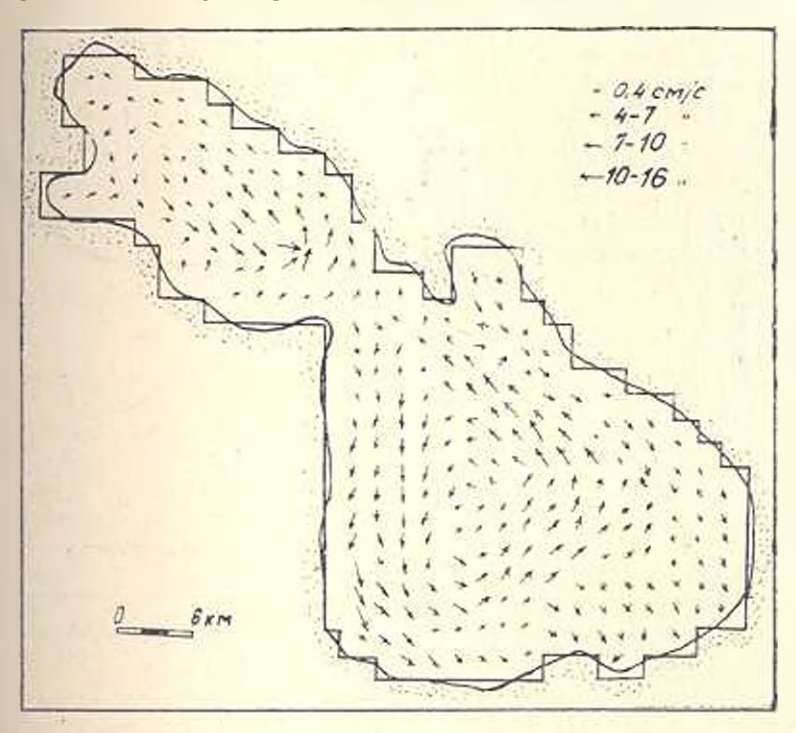


Рис. 2. Рассчитанные течения на поверхности.

В восточной части Большого Севана наблюдается антициклонический круговорот воды, занимающий довольно большую поверхность, со средней скоростью 1—2 см/с., что, по-видимому, обусловлено упором интенсивного струйного течения в Артанишский залив. Кроме того, наблюдаются несколько локальных антициклонов в занадной и северо занадной частях Малого Севана, что определяется рельефом дна и береговыми очертаниями.

Общий характер течений в Малом Севане остается, как и на поверхности, инклоническим. В Большом Севане придонные слои охвачены антициклоническим круговоротом, что свидетельствует о преобладании градиентной составляющей скорости, поскольку в наших расчетах градиент плотности не меняет знака [4]. Вдоль западного берега Большого Севана на поперхности наблюдается интенсивное дрейфовое течение со скоростью 14—17 см/с.

Вдоль восточного берсга Большого Севана на глубине 20 м наблюдвется глубинное течение со скоростью 2-3 см/с., тогда как скорость круговорота вод на этом горизонте равна 0—1 см/с. По всей вероятности, интенсификация глубицного течения является следствием антициклонического круговорота воды, охватывающего придовные слои всего Большого Сепана. В районе пролива в Малом Севане наблюдается увеличение скорости циркуляции воды.

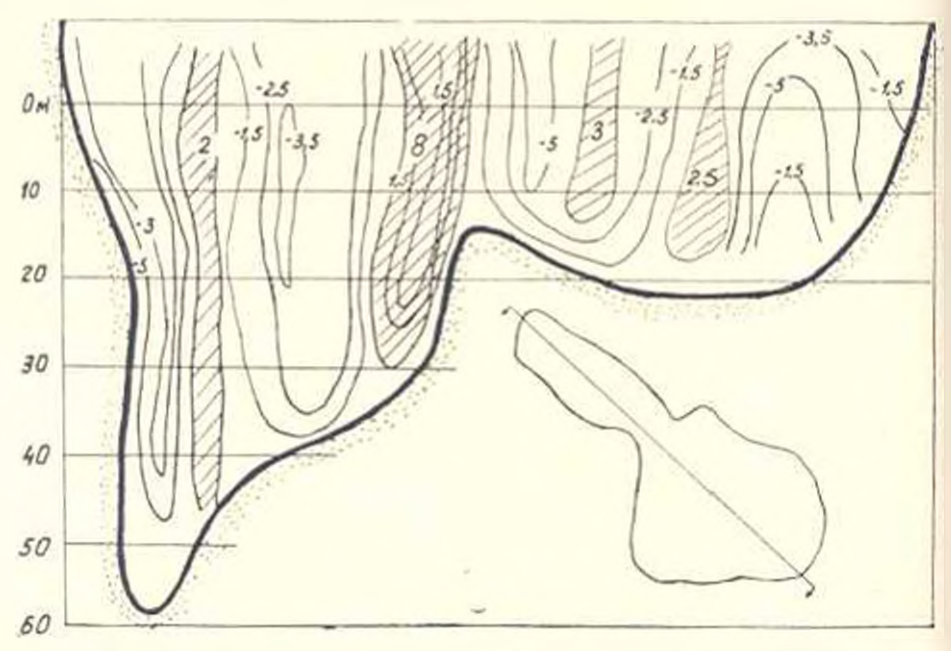


Рис 3 Разлез вертикальной составляющей скорости m(x, y, z) и 10 · 1 см/г. Зоны опускания заштрихованы

Вертикальная циркуляция в олере Севан характеризуется полъемом воды вдоль берегов со скоростями от 10⁻⁴ до 5·10⁻⁴ см/с. В районе пролива наблюдается опускание воды со скоростью 8·10⁻⁴ см/с. На рис. З видиш интенсивные зоны польема воды в районе больших глубии Малого Севана (до 5·10⁻¹ см/с.) и у юго-восточного берега (до 5·10⁻¹ см/с.). "Купол" холодных вод Большого Севана, обусловленный подъемом глубинных вод, смещен к западному берегу. Обновление воды за счет подъема глубинных вод в юго-восточной части Большого Севана происходит примерно за 10—15 суток, в остальных частих — за 30—40 суток в Малом Севане время обновления воды окаталось более 100 суток в эза малой скорости подъема глубинных под

U. U. ZUADBBUA & U. MACABUSUA

արդություն Վեծաբարանում Վել անակարարությունն և հարարարանում և հայարարական և հարարական և հարարարան և հարարարան հ

Righnenci

Հողվածում կատարված է Սևանա լճի լրիվ թունկցիայի և շուտնիների արազությունների շաշվարկը գժային դիադնոստիկ մոդելով դիտարկումնեբից շայտնի ջրի խոսության և լճի ժակերևույիին գոլություն ունեցող թամու դաշտերով։ Արդյունըները ներկաչացված են ըտրաեղների տեսըով։

Մեծ և Փորը Սևանի ջրերը ընդգրկված են հրկու անկախ ցիկլոնիկ չրջա պառշյաներով։ Մեծ Սևանում ջրերը ընդդրկված են երկու անկախ ցիկլոնիկ շրջապատուլաներով։ Մեծ Սևանում դերակշոում են դրադիենա Հոսանքները։ Փորը Սևանում՝ դրելֆային։

JHTEPATYPA

- 1 Саркиеви А. С. Часленный апальз и прогнол морских течений. Л. Гидрометеризлат,
- 2 Сархисян А. С., Торгомян Г. М. Р. уроне пои исперхности и функции полных потокон для озера Севан. «Півестия АН Арм. Р. (серия Т. Н.)», т. XXVII. № 6, 1974. с. 23—28
- 3 Торгомян Г. М. Течения озера Севан «Известия МІ АрмССР (серия Т. П.)», к XXIII № 3, 1975. с. 45—50.
- 4 Кочергин В. И. Геория и мето на расчета океаначеских течений. М., «Наука», 1978.

Տեխնիկական դիտուր սեբիա

XXXIII. No 1, 1980

Серия технических наук

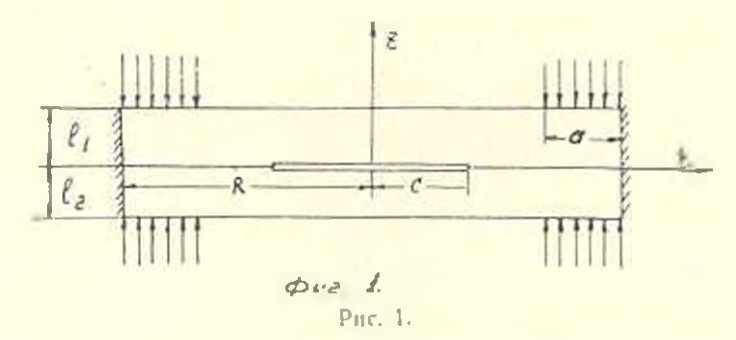
научные заметки

3. А. МАРТИРОСЯН, Г. Г. ПЕРСИСЯН

НЕКОТОРЫЕ КОНТАКТНЫЕ ЗАДАЧИ ДЛЯ ДВУХ КОНЕЧНЫХ ЦИЛИНДРОВ ИЗ РАЗЛИЧНЫХ МАТЕРИАЛОВ

Рассматриваются две осесимметричные задачи теории упругости для двух цалиндров, контактирующих между собой тордами. Решения задач представляются в виде рядов Фурье-Дипп. Для определения коэффициентов этих рядов получены парные ряды-уравнения, содержащие функции Бесселя, которые сводятся к квази вполне регулярной бескопечной системе, свободный члеп которой стремится к нулю. Окончательные выражения для контактных напряжений получены с выделенной особенностью. Для конкретной внешией нагрузки и некоторых значений отношения длин цилиндров и раднуса вычислены размеры контакта и напряжения на контактных поверхностях [1, 2].

1. Пусть два цилиндра конечной длины одинакового диаметра, изготовлениых из различных материалов, прижимаются торцами друг к другу (рис. 1). На других торцах цилиплров приложева осесимметричная сжимающая нагрузка таким образом. что образуется кольпевая



контактная область, наружный диаметр которой совнадает с днаметром цилиндров. Сцепление на поверхности контакта отсутствует. На боковой поверхности пилиндров нормальные перемещения и касательные напряжения равны нулю. Все величины, относящиеся к верхнему цилиндру, отметим индексом 1, а к нижнему — 2.

Граничные условия и условия контакта рассматриваемой задачи имеют вид:

$$= a_0^{(i)} + \sum_{k=1}^n a_{(k)}^i + J_0(\beta_k r); \qquad (1.1)$$

$$\tau_{ij}^{(l)}(r, l_i) = \tau_{ij}^{(l)}(R, z) = u_i^{(l)}(R, z) = 0, (i = 1, 2);$$
 (1.2)

$$z^{(1)}(r, 0) = z^{(2)}(r, 0); \ z^{(1)}(r, 0) = -z^{(2)}(r, 0) = 0; \tag{1.3}$$

$$u_{z}^{(1)}(r, 0) = u^{(2)}(r, 0), c - r < R;$$

$$\sigma_{z}^{(1)}(r, 0) = 0, (0 < r < c,$$

$$(1.4)$$

где $I_n(x)$ — длины и радиус цилиндров; $I_n(x)$ — функция Бесселя действительного аргумента первого рода; μ — кории уравнения $V_1(\beta_n R) = 0$.

Решение задачи сводится к нахождению функций Лява Ф^(e) (r, z), которые удовлетворяют бигармоническому уравнению [3]

$$\Delta^{2} \Phi^{(l)}(r, z) = \left(\frac{\partial}{\partial r^{z}} + \frac{1}{r} \frac{\partial}{\partial r} + \frac{\partial}{\partial z^{z}}\right) \Phi^{(l)}(r, z) = 0 \tag{1.5}$$

п условиям (1.1-1.4).

Напряжения и перемещения выражаются через функцию $\Phi^{(i)}$ (r, z) следующим образом [3]:

$$\begin{split} \mathbf{\sigma}_{r}^{(l)} &= \frac{\partial}{\partial z} \left(\mathbf{v}_{l} \Delta \Phi^{(l)} - \frac{\partial^{2} \Phi^{(l)}}{\partial r^{2}} \right); & = \frac{\partial}{\partial r} \left[(1 - \mathbf{v}_{l}) \Delta \Phi^{(l)} - \frac{\partial^{2} \Phi^{(l)}}{\partial z^{2}} \right]; \\ \mathbf{\sigma}_{r}^{(l)} &= \frac{\partial}{\partial z} \left(\mathbf{v}_{l} \Delta \Phi^{(l)} - \frac{\partial}{\partial r} \frac{\partial}{\partial r} \right); & = \frac{1}{2G_{l}} \left[2 + 1 - \mathbf{v}_{l} \right] \Delta \Phi^{(l)} - \frac{\partial}{\partial z^{2}} \right]; & = \frac{\partial}{\partial z} \left[(2 - \mathbf{v}_{l}) \Delta \Phi^{(l)} - \frac{\partial^{2} \Phi^{(l)}}{\partial z^{2}} \right]; & = \frac{\partial}{\partial z} \left[(2 - \mathbf{v}_{l}) \Delta \Phi^{(l)} - \frac{\partial^{2} \Phi^{(l)}}{\partial z^{2}} \right]; & = \frac{\partial}{\partial z} \left[(2 - \mathbf{v}_{l}) \Delta \Phi^{(l)} - \frac{\partial^{2} \Phi^{(l)}}{\partial z^{2}} \right]; & = \frac{\partial}{\partial z} \left[(2 - \mathbf{v}_{l}) \Delta \Phi^{(l)} - \frac{\partial^{2} \Phi^{(l)}}{\partial z^{2}} \right]; & = \frac{\partial}{\partial z} \left[(2 - \mathbf{v}_{l}) \Delta \Phi^{(l)} - \frac{\partial^{2} \Phi^{(l)}}{\partial z^{2}} \right]; & = \frac{\partial}{\partial z} \left[(2 - \mathbf{v}_{l}) \Delta \Phi^{(l)} - \frac{\partial^{2} \Phi^{(l)}}{\partial z^{2}} \right]; & = \frac{\partial}{\partial z} \left[(2 - \mathbf{v}_{l}) \Delta \Phi^{(l)} - \frac{\partial^{2} \Phi^{(l)}}{\partial z^{2}} \right]; & = \frac{\partial}{\partial z} \left[(2 - \mathbf{v}_{l}) \Delta \Phi^{(l)} - \frac{\partial^{2} \Phi^{(l)}}{\partial z^{2}} \right]; & = \frac{\partial}{\partial z} \left[(2 - \mathbf{v}_{l}) \Delta \Phi^{(l)} - \frac{\partial^{2} \Phi^{(l)}}{\partial z^{2}} \right]; & = \frac{\partial}{\partial z} \left[(2 - \mathbf{v}_{l}) \Delta \Phi^{(l)} - \frac{\partial^{2} \Phi^{(l)}}{\partial z^{2}} \right]; & = \frac{\partial}{\partial z} \left[(2 - \mathbf{v}_{l}) \Delta \Phi^{(l)} - \frac{\partial^{2} \Phi^{(l)}}{\partial z^{2}} \right]; & = \frac{\partial}{\partial z} \left[(2 - \mathbf{v}_{l}) \Delta \Phi^{(l)} - \frac{\partial^{2} \Phi^{(l)}}{\partial z^{2}} \right]; & = \frac{\partial}{\partial z} \left[(2 - \mathbf{v}_{l}) \Delta \Phi^{(l)} - \frac{\partial^{2} \Phi^{(l)}}{\partial z^{2}} \right]; & = \frac{\partial}{\partial z} \left[(2 - \mathbf{v}_{l}) \Delta \Phi^{(l)} - \frac{\partial^{2} \Phi^{(l)}}{\partial z^{2}} \right]; & = \frac{\partial}{\partial z} \left[(2 - \mathbf{v}_{l}) \Delta \Phi^{(l)} - \frac{\partial^{2} \Phi^{(l)}}{\partial z^{2}} \right]; & = \frac{\partial}{\partial z} \left[(2 - \mathbf{v}_{l}) \Delta \Phi^{(l)} - \frac{\partial^{2} \Phi^{(l)}}{\partial z^{2}} \right]; & = \frac{\partial}{\partial z} \left[(2 - \mathbf{v}_{l}) \Delta \Phi^{(l)} - \frac{\partial^{2} \Phi^{(l)}}{\partial z^{2}} \right]; & = \frac{\partial}{\partial z} \left[(2 - \mathbf{v}_{l}) \Delta \Phi^{(l)} - \frac{\partial^{2} \Phi^{(l)}}{\partial z^{2}} \right]; & = \frac{\partial}{\partial z} \left[(2 - \mathbf{v}_{l}) \Delta \Phi^{(l)} - \frac{\partial^{2} \Phi^{(l)}}{\partial z^{2}} \right]; & = \frac{\partial}{\partial z} \left[(2 - \mathbf{v}_{l}) \Delta \Phi^{(l)} - \frac{\partial^{2} \Phi^{(l)}}{\partial z^{2}} \right]; & = \frac{\partial}{\partial z} \left[(2 - \mathbf{v}_{l}) \Delta \Phi^{(l)} - \frac{\partial^{2} \Phi^{(l)}}{\partial z^{2}} \right]; & = \frac{\partial}{\partial z} \left[(2 - \mathbf{v}_{l}) \Delta \Phi^{(l)} - \frac{\partial^{2} \Phi^{(l)}}{\partial z^{2}} \right]; & = \frac{\partial}{\partial z} \left[(2 - \mathbf{v}_{l}) \Delta \Phi^{(l)} - \frac{\partial^{2} \Phi^{(l)}}{\partial z^{2}} \right]; & = \frac{\partial}{\partial z} \left[(2 - \mathbf{v}_{l}) \Delta \Phi^$$

где G — модули сдвига, а .v_i — коэффициенты Пуассона. Решения уравнений (1.5) ищем в следующем виде [4]:

$$\Phi^{(i)}(r,z) = z (B_i z^2 + C_i z) + \sum_{k=1}^{n} (A_k^{(i)} \operatorname{sh} \beta_k z - B_k^{(i)} \operatorname{ch} \beta_k z + \sum_{k=1}^{n} 2 \operatorname{sh} \beta_k z + D_k^{(i)} + z \operatorname{ch} - z) J_q(\beta_k r).$$
(1.7)

Удовлетворяя при номощи (1.6) условням (1.1—1.3), после зведения обозначения

$$(1-\nu_1) C_k^{(1)} + G (1-\nu_2) C_k^{(2)} = \frac{X_k}{p_k^2}$$
 (1.8)

определим коэффициенты $A_k^{(I)}$, $B_k^{(I)}$, $C_k^{(I)}$, $D_k^{(I)}$, B_I , выраженные черезначавестную X, и известную величину $a_k^{(I)}$. Удовлетворяя условиям (1A), получим систему параых рядов-уравнений, содержащих функцию Бесселя:

$$q_0 + \sum_{k=1}^{\infty} (1 - M_k) \beta_k X_{-k} J_0(\beta_k r) = \sum_{k=1}^{\infty} N_k J_0(\beta_k r), \ 0 < r < c;$$

$$q_0 + \sum_{k=1}^{\infty} X_{-k} J_0(\beta_k r) = 0, \ c < r < R,$$
(1.9)

гле

$$\Delta_{k} N_{k} = -\{(1 - v_{1}) | Q^{(2)} [\sinh u_{k1} (\cosh u_{k1} - \sinh u_{11}) + \mu_{k1} (1 + \mu_{k1}) \} +$$

$$-G (1 - \mu_{k2} (\cosh u_{k2} - \mu_{k2}) + \mu_{k2} (1 + \mu_{k2}) \};$$

$$a_{0} = a_{0}^{(1)} = -\frac{(R^{2} - a^{2})}{R^{2}}; \quad G = \frac{G_{1}}{G_{2}}; \quad \mu_{ki} = \beta_{k} I_{1};$$

$$\Delta_{k} N_{k} = (1 - \frac{1}{1 - G(1 - v_{2})} C_{1} + G(1 - 2v_{2}) C_{2}; \quad \Delta_{s} = -\{(1 - v_{1}) + G(1 - v_{2}) \} + G(1 - v_{2}) \};$$

$$I_{k}^{(1)} = \sinh u_{ki} + \sinh u_{ki} + \cosh u_{ki} + \sinh u_{ki}$$

Применяя методы решення парных рядов-уравнений [2, 5, 6], (1.9) приводим к бесконечной системе алгебранческих уравнений

$$b_s = \sum_{n=1}^{\infty} a_{sn} b_n + d_s \quad (s = 0, 1, 2, \cdots),$$
 (1.11)

где

$$a_{sn} = \frac{2(4s+3)(-1)^{n+s}}{\pi} \int_{0}^{\infty} \frac{K_{1}(y)I_{2n+3n2}\left(\frac{cy}{R}\right)I_{2s+3n2}\left(\frac{cy}{R}\right)}{yI_{1}(y)} dy + \frac{2(4s+3)\sum_{k=1}^{\infty} \frac{M_{k}J_{2n+3n2}\left(\beta_{k}C\right)J_{2n+3n2}\left(\beta_{k}C\right)}{2\left(\beta_{k}R\right)}}{\left(\beta_{k}R\right)}$$

$$= \frac{2(4s+3)C}{R^{2}} \sum_{k=1}^{\infty} \frac{N_{k}J_{2n+3n2}\left(\beta_{k}C\right)}{\beta_{k}^{n}} - \frac{2+2C^{3}\alpha_{0}^{(1)}}{R^{2}\gamma+\frac{1}{n}}\delta_{n_{0}};$$

$$= \frac{1}{3} \sum_{k=1}^{\infty} \frac{2}{n}$$

 $X_k = \frac{1}{(3 kc)^{3/2} J_0^2 (3 kR)} \sum_{n=0}^{\infty} \delta_n J_{2n-12} (3 kc)$ $k = 0, 1, 2, \cdots);$ $\delta_0 = \text{символ Кронекера; } I_n(x), \ \text{K}_n(x) = \text{функция Бесселя от мяимоги.}$

яргумента, соответственно, первого и второго рода. Бесконечная система (1.11) квази-вполис регулярна [2, 6].

Подставляя значение X_k по формуле (1.12) в первое уразнение (1.9), для контактного напряжения получим следующее выражение:

$$z_{\varepsilon}(r, 0) = u_0^{(1)} - \gamma \sum_{k=1}^{\infty} M_k \beta_k X_* J_0(\beta_k r) - \sum_{k=1}^{\infty} N_k J_0(\beta_k r) +$$

$$+\frac{\pi V \overline{R}}{2c^{3/2}} \sum_{n=0}^{\infty} (-1)^n b_n \left[\frac{2}{\pi} \int_0^{\infty} \frac{1 \overline{y} K_1(y) I_{2n+3/2} \left(\frac{cy}{R} \right) I_0 \left(\frac{ry}{R} \right)}{I_1(y)} dy + \frac{V \overline{2} \left(\frac{c}{R} \right)^{2(n+3)/2} \Gamma^2(n+3/2)}{\pi \left(\frac{r}{R} \right)^{2(n+3)/2} \Gamma(2n+5/2)} \left(1 - \frac{c^2}{r^2} \right)^{-1/2} \times \times F \left(n+1, n+1, 2n+\frac{5}{2}, \frac{c^2}{r^2} \right), c < r < R.$$
 (1.13)

Коэффициент особенности $\left(1-\frac{c^2}{r^2}\right)^{-1.2}$ в формуле (1.13) при r=c имеет илл

$$K = \frac{1}{\epsilon^3 R \sqrt{2 \pi}} \sum_{n=1}^{\infty} (-1)^{n+1} b_n.$$
 (1.14)

При полном контакте ($\epsilon = 0$) и отсутствии особенности напряжений на краю контакта, зависимости между длиной цилиндров от свойств материалов и размеров плонтали приложения внешней равномернораспределенной нагрузки выражается следующей формулой:

$$a_0 - \sum_{k=1}^{\infty} N_k = 0.$$
 (1.15)

В этом случае для контактного напряжения получаем

$$z_k(r, 0) = a_0 - \sum_{k=1}^{\infty} N_k J_n(\hat{z}_k r),$$
(1.16)

2. Рассмотрим аналогичную задачу, когда нормальные перемещешия на торие нижнего пилиндра равны пулю.

Граничные условия задачи имеют вид:

$$a_0^{(1)}(r, l_0) = a_0 + \sum_{k=1}^{\infty} a_k J_0(\hat{\gamma}_k r);$$
 (2.1)

$$u_r(r, l_i) = \tau_r^{(i)}(R, z) = u_r^{(i)}(r, l_i) = u_r^{(i)}(R, z) = 0.$$
 (2.2)

Условия контакта представляются в виде (1.3-1.1), напряжения и перемещения — (1.6), а функции Лява — (1.7) Представляя выражение X_1 в виде (1.12), аналогичным образом получаем для определения коэффициентов b_n квази—вполие регулярную систему бесконсчиых уравиений типа (1.11), где

$$\Delta_{k} M_{k} = (1 - i H_{k}^{(2)} [\sinh \mu_{k1} + \sinh \mu_{k1}) + i (1 + \mu_{k1})] - G (1 - \nu_{2}) Q_{k}^{(1)}$$

$$[\sinh \mu_{k} - \sinh \mu_{k} - \mu_{k1}] , \Delta_{k} N_{k} = -1$$

$$(2.3)$$

$$\Delta_{k} = (1 - \nu_{1}) H_{k}^{(1)} H_{k}^{(2)} + G (1 - \nu_{2}) Q_{k}^{(1)} \sinh \nu_{k2}.$$

Контактное нормальное напряжение определится по формуле (1.13), а коэффициент особенности — (1.14).

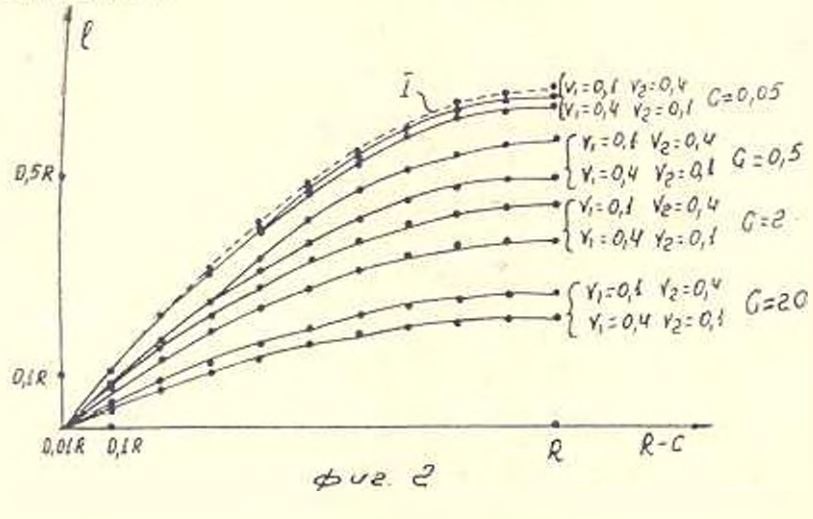
При полном контакте (c=0) и отсутствии особенности напряжений на краю контакта, зависимость длины цилиндров от размеров площади приложения внешней нагрузки и свойств материалов выражается формулой (1.15), а напряжения — (1.16).

3. Численные примеры, а) На торцах цилиндров одинаковой длины приложены равномерно-распределенные пормальные нагрузки:

$$\int_{\mathbb{R}^{2}} (r, l_{1}) = \begin{cases} 0, & \text{при } 0 < r < a \\ -P, & \text{при } a < r < R \end{cases} - \frac{R^{2} - a^{2}}{R^{2}} P + \frac{2aP}{R^{2}} \sum_{k=1}^{\infty} \frac{J_{1}(\beta_{k}a)}{\beta_{k}J_{2}^{2}(\beta_{k}R)}$$
(3.1)

В этом случае размеры контакта не зависят от свойств материалов. На краевой окружности области контакта напряжения особенностей не должны иметь, и эти условия использованы при определении ралнуса области контакта (K=0).

График зависимости размеров области контакта от длины цилиндров для значения a=0.99R показан на рис. 2 (кривая 1). При полном контакте (c=0) зависимость длины цилиндров (l) от предельного значения размера участка приложения нагрузки (R-a) приведека на рис. 3 (кривая 1).

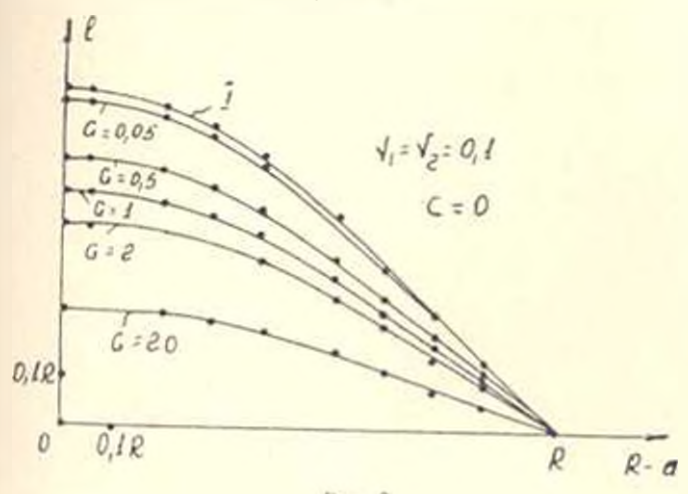


б) Рассмотрим случай, когда нормальные перемещения на одном из торнов инлиндра равны нулю, а остальные граничные условия и условия контакта совпадают с условиями первой задачи. В этом случае при $l_1 = l_2$ размеры области контакта зависят от свойств материалов. Если G = 0, то напряженное состояние в двух задачах совпадает.

Рис 2

График зависимости размеров области контакта от длины цилинд-

ров для значений: a=0.99R; $v_1=0.1$, $v_2=0.4$; $v_3=0.4$; $v_4=0.4$; $v_5=0.4$; $v_6=0.05$, 0.5, 1, 2, 20 показан на рис. 2



PRC. 3.

При полном контакте ($\varepsilon=0$) и отсутствии особенностей напряжения на краю контакта, зависимость длины цилиндров l от размера участка приложения нагрузки (R-a) для значений a=0.99R: $v_1=v_2=0.1$; G=0.05, 0.5, 1, 2, 20 приведена на рис. 3.

При контакте по всему торцу ($\epsilon = 0$) предельное значение длины шиликаров при различных значениях размеров приложения нагрузки (R-a), коэффициента Пуассона и модулей упругости материалов цилинаров приведены в табл. 1. Значения пормального контактного на-

	Таблаца 1			
G	$\frac{R-a}{R}$	1,0	·, 0,1,	$v_1 = 0.4$, $v_3 = 0.1$
n	0.01	n 675	0,675	0.675
	0.4	0 5437	0.5437	0.5437
	0.75	0 2375	0,2375	0.2375
0,05	0,01	0,6494	0.6557	0,64
	0,4	0,5241	0.5295	0,5172
	0,75	0,2259	0,2281	0,223
0,5	0.01	0.5293	0,5635	0,4918
	0 .4	0.4326	0,4588	0,4037
	0.75	0.1871	0,1982	0,1744
1	0,61	0,465	0,5629	0,4279
	0,4	0,3627	0,4123	0,3525
	0,75	0,166	0,4781	0,1517
2	0,01	0,4025	0+1385	0,3695
	0,4	0,3318	H,3611	0,3102
	0,75	0,1425	0+1557	0,1312
20	0,01	0,2142	0,2588	0.2117
	0,4	0,1937	0,2139	0.1752
	0,75	0,0528	0,0903	0.075

пряжения для различных значений I при a=0.99R, G=0.5, $v_1=0.1$, $v_2=0.4$ и $z=\frac{R-c}{8R}$ приведены в табл. 2.

Таблица 2

Значения напряжений 10-1

$\frac{R \leftarrow e}{R}$ r	0,9	0,8	7,0	0.6	0.5	0,4	0,3	0,2	0,1
6-122 6-122 6-152 6-152 6-152 7-72	12 33 66 116 182 258 323 3 19	20 47 85 138 205 277 336 359	30 62 105 162 230 301 357 378	40 79 128 195 262 333 388 408	54 100 157 226 304 380 436 457	69 126 195 277 367 454 519 542	80 153 243 353 447 598 690 720	149 246 369 519 687 849 969	257 456 700 998 1332 1653 1889-

EpHH in K. Western

Поступало 17.У.1979.

ЛИТЕРАТУРА

- Абражин В. Л., Макирын В. С. Осесимметричная задача с контакте между двуми слоями из резеличных материалов с учетом тревия между слоями. «Поиссты! АН АрмССР Механика», т XXIX, № 5, 1976.
- Мартиросян З. Л. О двух контактимх задачах для круглых упругих андиваров so печной дливы -Плиестия АП АрмССР Механика», 1 XXXI № 5-1978
- 3. Гимощенко С. И. Теория упругости М. ОПТП, 1937.
- -16 рамян Б. Л. К задаче осесимметричной зеформации круглого пилиидра. «Докам ды АН АрмССР», т. XIX. № 1, 1954
- 5 Cooke I. C. Tranter I. Dual Fourier—Bessel Series, The Quiterly Journal of Mechanics and Applied Mathematics, 1959, v. VII. part 2, Oxford.
- Баолови А. Мелконан А. И. О лвух сменизиных осесимметричных задачах то рин упруга: то «Известия АП АрмССР Механика», т. XXII. № 5, 1969.

«հանիկական գիտութ, ռեբիա

XXXIII. № 1, 1980

Серия техничение пеук

научные заметки

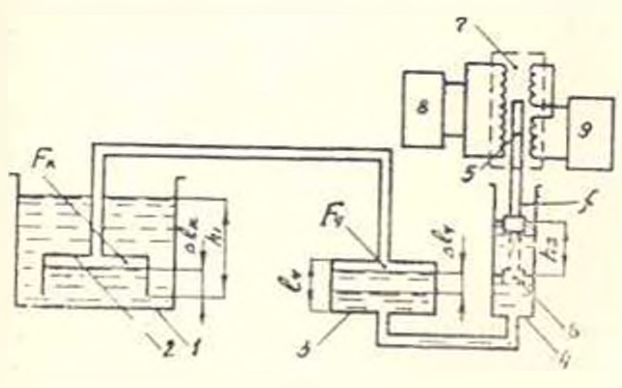
O M BYHRATHILK B BABARII

ПССЛЕДОВАНИЕ ТИДРОПИЕВМОЭЛЕКТРИЧЕСКОГО ПРЕОБРАЗОВАТЕЛЯ

Оперативный контроль параметров технологического процесса обогашения руд дветных металлов требует применение чувствительных и надежных измерительных приборов и устройств, отсутствие которых загрудняет создание и введрение качественных автоматических систем управленя процессами. В статье приводится исследование гидропневмо электрического преобразователя, разработанного Кафанским от телешем ВЦ АН АрмССР и внедренного в 1978 г. на Зангезурском медномолибденовом комбинате [1]

В основе его работы лежат изпестные принципы работ колокольного датчика пьезометрического уровнемера и чашечного манометра [2]. В нем впервые использованы совместно работы указанных двух принципов, что дает качественно ворые результаты.

Функциональная схема исследуемого гидропневмоэлектрического пооразователя приведена на ряс. 1. Давление в колоколе 2, функ-



Pitc. 1

иновально связанное с илотностью жидкости у, в рабочей емкости 1 и иходной величиной h₀, по трубкам передается в чищу 3. Под его походной величиной h₀, по трубкам передается в чищу 3. Под его походействием и трубке датинка 1 уровень жидкости с илотностью у изменяется из величищу h₀. Липейное емещение уровии жидкости h, через сердечник 5 повлавка 6 в дифференциальном транеформаторе 7 преобризуется в электрическое папряжение, которое регистрируется и измершельном узле 9.

Образованное под воздействием величик h_{μ} у, и произведения h_{ν} у, в колоколе 2 избыточное давление определяется урависиием [2]

$$P_{\text{mat}} = (h_i - \Delta l_{\kappa}) \gamma_1. \tag{1}$$

Уравновещенное состояние гидропневматической системы характерызуется уравнениями

$$P_{n,j,0} = (h_1 - \Delta I_1) - = (h_2 + \Delta I_1) - \ldots$$
 (2)

$$F_4 \cdot \Delta I_a = f \cdot h_a, \tag{3}$$

$$F_{\kappa} \cdot \Delta I_{\kappa} = f \cdot h_0 + F_{\kappa} \cdot \Delta I_{c_{\kappa}} \tag{4}$$

где I_* — лиощади поперечных сечении трубки 4 и чаши 3; $F_\kappa \cdot \Delta I_{\rm c} + {\rm o}G$ объем сжатого газа, приведенный по илошади поперечного сечения колокола 2 F_κ .

Согласно закону Бойла- Мариотта:

$$\Delta I_{\rm c} = I \cdot \frac{P_{\rm mas}}{P_{\rm sem} + P_{\rm mas}} \tag{5}$$

где 1. - приведенная длина колокола 2 с учетом

$$I_{\bullet} \cdot F_{\bullet} = V_{\bullet}. \tag{6}$$

 V_1 — начальный общий объем воздуха в колоколе 2 и чаше 3. Из уравиений (1) — (5) получим:

$$h_{2} = \frac{h_{1^{g}}}{\frac{\gamma_{2}}{\gamma_{1}} \left(1 + \frac{f}{F_{4}}\right) + \frac{f}{F_{k}} + I_{k} \frac{\left(1 + \frac{f}{F_{4}}\right)\gamma_{2}}{P_{\text{atm}} + h_{2}\left(1 + \frac{f}{F_{4}}\right)\gamma_{2}}, \quad (7)$$

откуда следует:

- 1. При $\gamma_1 = \text{const}$ и $\gamma_2 = \text{const}$ преобразователь может функционировать как измеритель уровня h_1
- 2. При h_1 const и χ_2 const преобразователь функционирует как измеритель плотности жидкости χ_1 .
- 3. При произвольно изменяющихся h_i и γ_i преобразователь работает как манометр, который можно с успехом использовать в качестве датчика на щелевых расходомерах с учетом изменяемой плотности пульпы [3].

Режим уровнемера. Коэффициент передачи определяется из (7)

$$K_{h} = \frac{h_{2}}{h_{1}} = \frac{1}{\frac{\gamma_{2}}{\gamma_{1}} \left(1 + \frac{f}{F_{4}}\right) + \frac{f}{F_{4}} + l_{\kappa} \frac{\left(1 + \frac{f}{F_{4}}\right) \gamma_{2}}{P_{\text{atm}} + h_{2} \left(1 + \frac{f}{F_{4}}\right) \gamma_{2}},$$
 (8)

откуда видна нелинейная зависимость h_{ϵ} от h_{ϵ} . Оценку ислинейности можно произвести по выражению

$$b_n = \frac{1}{K_{h_1}} = \frac{|K_{h_1} - K_{h_{\max}}|}{K_{h_1}}$$
 (9)

где K_{a_0} . $K_{b,\max}$ — значения K_a при $h_a=9$ и $h_a=h_{a\max}$. После некоторых преобразований окончательно получим:

$$\Delta K_{4} = \left| \frac{1}{1 + B \left(1 + B \frac{1}{1 \cdot 1} a_{8} \right)} - \frac{1}{A + B} \right| \tag{10}$$

$$\hat{z}_{n} = \frac{(1+a_{1})\gamma_{n}}{p_{n+1} + \frac{1}{1, \frac{1}{2}h_{2m,n}} \left(\frac{a_{n}}{a_{n}} + \frac{1}{1+a_{1}}\right)}$$
(11)

rae

$$a_{*} = \frac{1}{\gamma_{1}}; \ a_{1} = \frac{1}{F_{1}}; \ a_{2} = \frac{1}{F_{K}}; \ A = a_{3} (1 + a_{4}) - a_{4};$$

$$B = \frac{1.1 \, n_{\text{max}} \, a_{2} (1 + a_{4}) \, \gamma_{12}}{P_{\text{sim}}}$$

Из (8) и (11) следует, что $0 < K_h < 1$ при $a_+ = 1$ и между относительной ошибкой δ_h и коэффициентом K_h существует убывающая связь, что свидетельствует о достаточной точности (коэффициент δ_h стремится к нулю) измерения уровня при близких к единице значениях коэффициента передачи K_h .

Режим плотномера. Аналогичными рассуждениями получим слелующие выражения характеристик: коэффициент передачи—

$$K_{7} = \frac{h_{2}}{\gamma_{1}} = \frac{h_{4}}{\gamma_{2} \left(1 + \frac{f}{F_{4}}\right)} - h_{2} \left(\frac{l_{x}}{P_{xyx} + h_{2}\gamma_{2} \left(1 + \frac{f}{F_{4}}\right)} + \frac{f}{F_{4} - \gamma_{2} \left(1 + \frac{f}{F_{4}}\right)}\right); \tag{12}$$

оценка нелинейности —

$$\delta_{\gamma} = \left[\frac{h_{2 \text{ max}} u_{1}}{h_{1}} \left(\frac{1.1 h_{2 \text{ max}} (1 + a_{4}) \gamma_{2}}{P_{\text{max}}} + 1 \right) \right]. \tag{13}$$

Из уравнений (12) и (13) следует, что в пределе, когда a_{κ} и и стренятся к нулю, при $a_{\star}=1$ коэффициент передачи K_{τ} стремится к неличине h_{1} , т. е. дианазон вариации K равен $0 - h_{1}$. Когда значение K_{τ} близко к h_{1} , плотномер обеспечивает большую точность $(o_{\tau} \rightarrow 0)$ линейности h_{τ} от γ_{1} .

Режим манометра. Коэффиционт передачи имеет вид:

$$K_{P} = \frac{h_{2}}{P_{\text{NJ}6}} = \frac{1}{(1+\frac{1}{L})} \tag{14}$$

который констатирует линейную связь между выходом h_* и входой P_{red} . В режиме манометра преобразователь обеспечивает одинаково высокую точность для любого значения коэффициента передачи

Выводы

- 1. Совместное функционпрование колокольного датчика выезометрического уровнемера и чашечного манометра появоляет иопользоваты попланковые датчики (в данном случае дифтрансформаторный) да измеренця уровня и плотности агрессивных жидкостей, а также давления агрессивных газов.
- 2. Гидропневматический узел дает возможность измерения выше указанных нараметров в инпроких пределах, с высокой точностью и чув ствительностью (в долях миллиметра).
- 3 Ги гроппевмоэлектрический преобразователь может с услехог служить в системах АСУ технологических процессов обогащения рудивстных металлов в качестве датчика уровия, плотности, давлечия расхода твердого в пульне.

Кафанский отд. ВЦ АН АрмССР

Поступнаю 10,1У.197

JIHTEPATYPA

- Буннатин О. М., 1 м. и. К. С. Разработка и внедрение электрического преобранователя выходного сигнала экспресс гранулометра плотиомера на Завгезуском медно мозибленовом комбинате. -Промышленность Армении», 1970 № 10.
- Емельянов I И., Емельянов В. Л., Калинина С. А. Практические расчеты в овте матике. М., «Машиностроение», 1967.
- 3 Троп 4. Е., Колин В. З. Аршинский В. М. Автоматизации | богатительных фабриск М., Неправ. 1970.

3h]անիական գիտութ. սերիա

XXXIII, № 1, 1980

Серия технических наук

научные заметки

Э. М. ДИЛАНЯН, В. С. ВАРПЕТЯП, А. П. ТАРАСЯН

ИССЛЕДОВАНИЕ ЭНЕРГЕТИЧЕСКИХ ПОКАЗАТЕЛЕЛ АВТОНОМНЫХ ЭЛЕКТРОМЕХАНИЧЕСКИХ СИСТЕМ

Наиме энергетические и монцостные показатели современных химических источников тока, приемлемых в качестве источника питания
ватовомных электромеханических систем (АЭМС), как, например, электронодвижных установок (ЭПУ) — электромобилей, шахтных аккумумяторных электровозов, электропогрузчиков и др., выдвигают необходямость неследования и разработки оптимальных по выбранным критерням систем управления, приволящих к повышению эффективности
вспользования энергооборудования.

Несмотря на традиционное применение двигателей последовательного возбуждения (ДПВ) в качестве гиговых двигателей ЭПУ, для установок с дингателями постоянного тока независимого возбуждения (ДПВ), кроме относительно легко реализуемых режимов рекуперативного горможения привода и тяги с ослаблением магнитного потока появляется дополнительная возможность оптимального управления режимами работы автономной системы, посхольку посредством тока якоря и магнитного потока электродингателя задаются две степени снобовы

Характерными особенностями АЭМС с аккумуляторным питанием являются наличие существенного взаимовлияния характеристик и по-казат.лей аккумуляторной батарен (АБ), шпротно импульсного преобразонателя (ШНП), приводного цвигателя (Д), механического релуктора (Р) и изменение выходных показателей системы в зависимости от зарядового состояния АБ [1].

Исходя из специфики АЭМС с аккумуляторным питаинем, АБ представляет из себя источник с ограниченным и изменяющимся энерторесурсом, мощность которого соизмеряма с мощностью нагрузки, и отдача по энергии и емкости свищовых АБ существенно зависит от разрядного тока, рассматряваются следующие критерии оптимальности: минимум тока АБ I_{A1} ; минимум абсолютных суммарных потерь мощности в системе $-P_{\rm c} = P_{Ab} - P_{\rm min} + P_{\perp} - P_{\rm p}$, где $P_{Ab}, -P_{\perp}, -P_{\rm p}$ абсолютные потери мощности, соответственно, в АБ, ШПП. Д и P_{\perp} максимум полезиоотданной АБ энергии или максимум совершаемой системой работы, что для пензменных статических режимов определяется как [1]

$$\Theta = \Theta_{\ell} \cdot \left(\frac{I_{\ell}}{I_{\Lambda E}}\right)^{b} - P_{0} \cdot I_{h} \cdot \left(\frac{I_{h}}{I_{\Lambda E}}\right)^{a+1} \epsilon$$
 (1)

где Э — энергия полного разряда АБ базисным током I:I — врем допустимого разряда АВ в режиме L — const: a_i в постояниме да данной АБ коэффициенты (в < a < 1): $P_0 = P_c - P_{\Delta b}$.

Задача формулируется так: найти управление автономной системой АБ-ШИП-Д-Р, обеспечинающей заданный режим движения, при всех трех критериях оптимальноств. Управлениями являются ток яко ря, магнитный поток электродвигателя в передаточное число редуктера. При исследования системы с ДНВ полагается, что управление магнитным потоком двягателя осуществляется путем регулирования ток в эбуждения с помощью видини гуального ПИПГ. В случае ДПВ ШИП отсутствует, а последовательно соединенные обмотки якоря и возбуждения двигателя управляются одини ПИПГ.

Пля системы с ДНВ средние за период импульсного цикла ШИИ значения тока $I_{\rm AB}$ и потерь мощности АБ $P_{\rm AB}$ определяются в завысимости от соотношения сквижностей преобразователей якорной неприняния возбуждения $\tau_{\rm AB}$

1. Then
$$\gamma_{0} = \gamma_{0} - I_{AB} = I_{0} \cdot \gamma_{0} + I_{AB} = I_{AB} \cdot \gamma_{0} \cdot (I_{0} - I_{0}) + R_{AB} \cdot (\gamma_{0} - \gamma_{0}) \cdot I_{0}^{2}$$

$$= \frac{U_{0} + I_{0}R_{AB} \cdot \gamma_{0}}{E_{AB} + I_{0} \cdot R_{AB}} \cdot \gamma_{0} = \frac{U_{0}}{E_{AB} + (I_{0} + I_{0}) \cdot R_{AB}} \cdot \gamma_{0} \cdot I_{0}^{2}$$

2. TIPH:
$$I_{\text{AT}} = I_{\text{AT}} + I_{\text{AT}} : P_{\text{AB}} = R_{\text{AB}} \gamma_{\text{A}} (I_{\text{A}}) - R_{\text{AB}} \cdot (\gamma_{\text{B}} - \gamma_{\text{B}}) P_{\text{B}}$$

$$I = \frac{U_{\text{B}}}{E_{\text{AB}} - (I_{\text{B}} + I_{\text{B}}) \cdot R_{\text{AB}}} \cdot \dots - \frac{U_{\text{B}}}{E_{\text{AB}} - I_{\text{B}} \cdot R_{\text{AB}}}$$
(3)

гле U_0 , I_0 , — средние за период импульсного пикла ШИП за чения напряжения и тока якоря и обмотки ДНВ; — и $R_{AB} = 9$, θ , — и внутрениев сопротивление AB в рассматриваемом ее зарядовом согоянии.

Относительно выбранных критериев онтимальности необходимо отметить совнадение экстремальных управлений при реализация да ной статической точки управлением магнитного потока двигателя. Да выбранных критериев условия существования частных экстремумы при справлении потоком двигателя с учетом (1), имеют следующий илл:

$$\frac{\partial I_{AB}}{\partial \Phi} = 0;$$
 (4)

$$\frac{\partial P_{\epsilon}}{\partial \Phi} = \frac{\partial \left(E_{AB}I_{AB} - K_{1}M_{B}n_{p}\right)}{\partial \Phi} = \frac{\partial \left(P_{0} + R_{AB} \cdot I_{AB}^{*}\right)}{\partial \Phi} = E_{AB} \cdot \frac{\partial I_{AB}}{\partial \Phi} = 0; \quad (5)$$

$$\frac{\partial \Theta}{\partial \Phi} = B_{0}\frac{\partial I_{AB}}{\partial \Phi} + B_{1} \cdot \frac{\partial P_{4}}{\partial \Phi} = 0, \quad (6)$$

где
$$B_b = -3 \epsilon_b \cdot \frac{I_{\lambda b}}{I_{\Lambda B}^2} \cdot \left(\frac{I_{\lambda}}{I_{\Lambda B}}\right)^{b-1} + P_0 t_{\lambda} \left(a+1\right) \cdot \frac{I_{\lambda}}{I_{\Lambda B}^2} \cdot \left(\frac{I_{\lambda}}{I_{\Lambda B}}\right)^a + 2 R_{\Lambda B} \cdot I_{\Lambda B} \times I_{\Lambda B}$$

$$\times t_{5^+} \left(\frac{I_5}{I_{AB}} \right)^{a-1}$$
; $B_1 = -t_5 \cdot \left(\frac{I_4}{I_{AB}} \right)^{a-1}$; M_p , n_p — крутящий момент и ча-

стота вращения на выходе редуктора; K_1 — коэффициент размержести. Таким образом из (4), (5) и (6) имеем:

$$\frac{\partial I_{AB}}{\partial \Phi} = \frac{\partial I_{AB}}{\partial \Phi} = \frac{\partial \Theta}{\partial \Phi} = 0. \tag{7}$$

При аналитическом исследовании законов статического управления АЭМС с ДНВ, если преизбречь влиянием тока обмотки ДНВ, с учетом (2) условие (4) приводится к виду:

$$\frac{\partial I_{AB}}{\partial \Phi} = \frac{(E_{AB} - R_{AB} \cdot I_a) \cdot \frac{(\partial U_a I_a)}{\partial \Phi} + R_{AB} U_a I_a \cdot \frac{\partial I_a}{\partial \Phi}}{(E_{AB} - R_{AB} \cdot I_a)^2} = 0.$$

откуда, после несложных упрощений, получается:

$$k_0 \cdot \Phi^6 + k_1 \cdot \Phi^5 - k_2 \Phi^4 - k_3 \cdot \Phi^2 - k_1 \cdot \Phi + k_3 = 0, \tag{8}$$

$$\begin{split} R_0 &= -R_{AB} \cdot b_A^2 \cdot b_B^2; \ k_1 - 2E_{AB} b_1 b_2^2; \ k_2 - \Delta U_{BA} \cdot E_{AB} b_1 + R_{AB} R_1 b_2 \cdot b_3^2 - 2R_{AB} b_0 b_1 b_2 \\ k_2 &= -R_{AB} \cdot b_0 \cdot b_2 + 2R_{AB} R_2 b_3^2 \delta_1 + \Delta U_{BA} E_{AB} \cdot b_0; \ k_1 - 2E_{AB} R_3 b_3^3; \\ k_3 &= R_{AB} \cdot R_3 \cdot b_3^3; \end{split}$$

$$b_1 = \frac{M_p}{\eta_p j c_e} = \frac{0.975 \left(a_2 n_p j - a_1\right)}{c_e}; \ b_1 = \frac{0.915}{c_e} \left(a_0 n_p j - a_1\right); \ b_2 = c_e n_p j + R_a b_1;$$

 a_0, a_1, a_2, a_3 — коэффициенты апроксимация полных потерь холостого хода двигателя; $R_+, \Delta U_0$ — сопротивление якорной цени и надение напряжения на щетках двигателя; $\eta_+ = \kappa n.d$, редуктора в данном статическом режиме движения, $\epsilon_+ = \kappa o$ эффициент э. $d.\epsilon_-$ двигателя.

Уравненае (8) в случае вышеуказанного допущения и фиксированного значения передаточного числа редуктора позволяет определять оптимальные значения потока двигателя для формирования заданного статического режима по выбранным критериям оптимизации. Далее решение поставленной задачи производится на ЦВМ с учетом математической модели системы, описанной в [2].

Алгоритм расчета оптимального закона управления АЭМС с ДИВ четодом градцента с переменным шагом поиска по магнитному нотоку Д приведен на рис. 1. Входкыми величинами при расчете являются М., пр и начально задаваемые значения передаточного числа редуктора I_{\min} и тока возбуждения Д $I_{b_{\bullet}}$. Для организации поиска в алгоритм введены фиктивные переменные 👠 🐴 Приведенный алгоритм был использован для статической онтимизации АЭМС на базе оборудовавия электромобиля ЭМ-ЕрПИ-1 на ПВМ ЕС-1022. По результатам расчета на рис. 2 приведены зависимости, показыцающие повышение эффективности яспользования оборудования за счет статической оптимизации по сравнению с АЭМС с неуправляемым потоком ленгателя. При этом для АЭМС с ДНВ с управляемым потоком для каждой статической точки рассчитывались соответствующие сочетания оптимальных управлений $I_{\mathrm{con}} \Phi_{\mathrm{ont}}$ I_{con} финодящих к экстремуму выбранных критернев, а для АЭМС с ДНВ с пеуправляемым потоком √Ф = Ф_{ном} = const) для тех же статических точек были рассчитаны

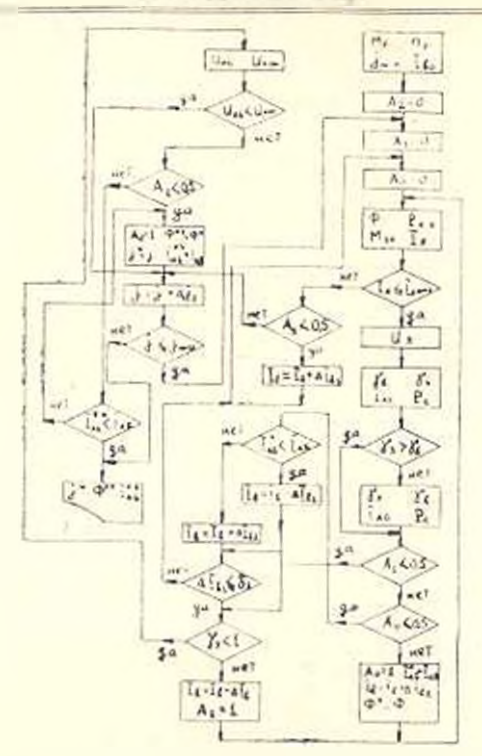


Рис. 1. Алгоритм статической оптимизации АЭМС с ДНВ.

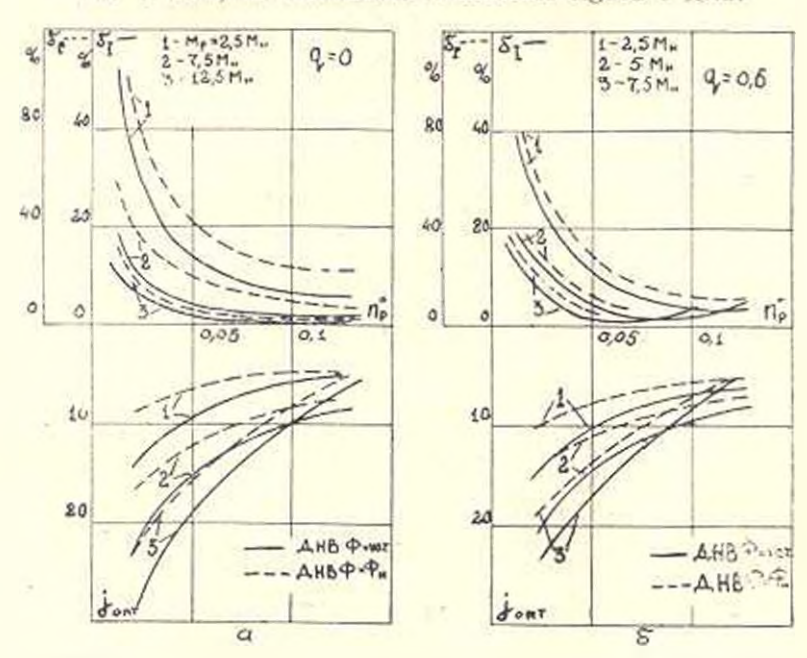


Рис. 2. Сравнение энергетической вффективности АЭМС с ДНВ с управляемым (---) потоком двигателя и законы штимального управления передаточного числя редуктора в) q=0;

6)
$$q = 0.6$$
; $n = \frac{n_0}{n_{A.H.}}$

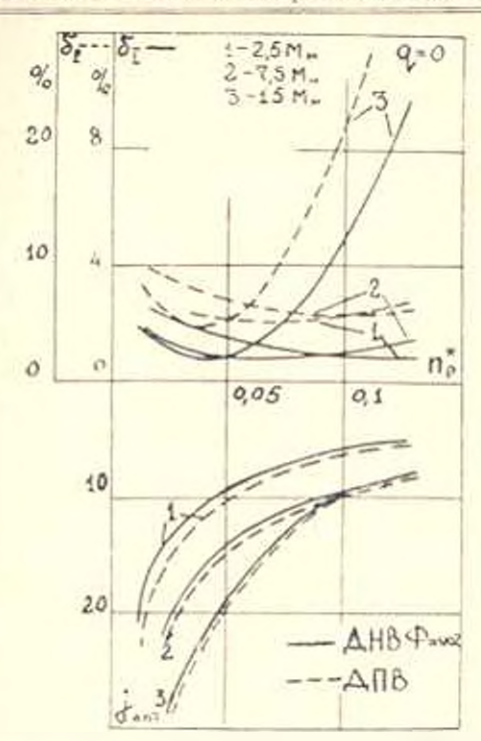


Рис 3, Сраимение эпертетической эффективности АЭМС с ДНВ с управляемым потоком и в ЛНВ и законы оптимального управления передаточного числа редуктира.

экстремумы выбранных критериев при собственных значениях управления $f_{\rm uni}$. Оценка эффективности и оптимизации производилась с помощью коэффициентов

$$\delta_I = -\frac{I_{ABI} - I_{AB2}}{I_{ABI}} \cdot 100^{\circ}_{0}, \ \delta_I = -\frac{P_A - P_{ci}}{P_{ci}} \cdot 100\%$$

относительного уменьшения тока АБ и суммарных потерь системы, где $I_{\rm Abp}$ $P_{\rm cl}$, $I_{\rm Ab2}$, $P_{\rm cl}$ — минимальные значения тока АБ и суммарные потерь АЭМС с ТНВ с управляемым и неуправляемым потоками. На том же рисунке приведены зависимости оптимальных значений $I_{\rm out}$ для обоих типон ДНВ, при разных зарядовых состояниях АБ (зарядовое состояние АБ оценивается согласно [1] относительной величиной отданной емкости q).

Сравнение АЭМС с ЛНВ с управляемым потоком и АЭМС с ДПВ плиюстрировано на рис. З. На приведенных зависимостей следует изличие существенных преимуществ по эпоргетической эффективности АЭМС с ДНВ с управляемым потоком по сравнению с системами с ЛПВ и ДНВ с неуправляемым потоком. Поскольку при практических реализациях АЭМС прихолит в применять редуктора с фиксированным или с ограниченным числом ступсией переключения, приведенные зачисимости $I_{\text{пит}} = (M_1, n_{\text{pit}}, q)$ могут быть использованы для обоснованного выбора передаточного числа редуктора.

Приведенные законы оптимального управления потоком двигателя с учетом влияния зарядового состояния АБ можно использовать при разработке оптимального регулятора управления тока возбуждения двигателя рассматриваемой АЭМС.

Выподы

- 1. Статическую оптимизацию АЭМС целесообразно производить по критерию минцмума потребляемого от источника питания тока.
- 2. При оптимальном управлении АЭМС с выбранным передаточным числом редуктора экстремальные управления по кратериям мянимума потребляемого от источняка тока, минимума суммарных потеры максимуму поледноотданной источником питания эпергии, совпадают.
- 3. Полученное выражение (8) при выбранном редукторе можно использовать для нахождения законов управления оптимальных регуляторов возбуждения двигателей АЭМС.
- 4. Эффективность использования электрооборудования АЭМС ит применения статической оптимизании повышается по мере уменьшения скорости и нагрузки на входе редуктора. Предложенный алгоритм расчета и полученные результаты статической оптимизации могут быть использованы для выбора нараметров оборудования, разработки и исследования АЭМС.

ЕрПИ им. К. Маркеа

Поступние 2 Х 1978

ЈЕНТЕРАТУРА

 Вирпетан В. С. Песледование режимов работы и характеристик электрооборудонашия автономных электропо винжных установок с аккумуляторным пятанием. Автореферат кана. писсерт., Ленииграл, 1977.

 Дилинян Э. М. и др. Математическая модель системы «Аккумуляторная батарея импульсный преобразопатель—диптатель постоянного тока» «Илиестая АН New CCDA (2012). В М. п. 2003.

АрмССР (серия Г. Н.)», т. ХХХІ, № 3, 1978.

· видньчичення

ԷՆԵՐԻԵՑԻՈՒ

			1.0.
L		Հունանյան Հատ մոդելը	3
		ffnishtrant.	
L	±.	Կառաքսանյան Աև ամասեռ միջավայրի մասկիսական քափանցելի աքյան հետացուտումը՝ Հաջվի	7
		2004ՈՎԱԿԱՆ ՏԵԽՆԻԿԱ	
4.	Į.	Մինասյան։ «Տիրիստոր-պա օգիտ, ենիասիհժաներում տեղի ուհեցող պրոցեսների ժողնկավորումը	13
		ցրանները չրարդու	
		Վարդասյաս։ Օդի հարվածային այիջների Հնշման դրանցման արացագործ ունա- կային հայտնիչներ Վանունի, Ո. Գ. Տրիկանով։ Մետագալարային հյուննին արամագծի Տոտոեյնկարա- չափիչ	21
IJ,	11.	. Հակոթյան, Կ. Մ. Բուգովյան։ լեխ հոսահյենթի դարտի հա-վարկը մա- Ոհմատիկական մոդելավորման մեթողով	31
		ԳԻՏԱԿԱՆ ՆՈԹԵՐ	
2	U.	Սաբախասյան, Գ. Գ հետակայան։ Տարրեր հյուրերըց երկու վորմավար գլանների համար արաչ կոնաակատային խնդրիներ Ռունիարյան, Կ. Վ. Բարայան, Հիդրոպնեժավլեկարական փոխակերպիսի Հետա- գնտումը Գրանյան, Վ. Ս. Վատդեայաս, Ա. Գ. Տատասյան Ավտոնոմ (յնկարամնիանիկա կան համակարգնրի (Ենրգնաիկական ցուցանիլների	43

СОДЕРЖАНИЕ

ЭНЕРГЕТИКА

	UI
Л А. Унинан. Дискретно-непрерывная молель оптимизвини газотранспортных	
селей	
ЭЛЕКТРОТЕХНИКА	
Л. О. Караханян. Исследование магнатной проницаемости неоднородной среды с учетом взяимного влияния частии.	
вычислытельная техника	
В. 7 Минисли. Цифровое моделирование переходных процессов в подсхемах «Тиристор—изщитная цень»	
измерительная техника	
В. Р. Вардании, Гыстродействующие емкостиме хатчики для регистрации дав- ления воздушных ударных воли . В. О. Вавини, С. Д. Трифонов. Фоторлектрический измеритель диаметра прово- лочных материалов	
1 И ДРАВЛИКА	
М. А. Акопян, Г. М. Торгомян. Расчет поля скоростей озера Сенян методом ма- тематического моделирования	
ПУЛНЫП ЗАМЕТКИ	
 3. А. Мартиросин, Г. Г. Нерсисяя. Некоторые контактные задачи для двух конечных цилиндров на различных материалов. 0. М. Бунцитян, К. В. Бабиян. Исследование гидровневмовлектрического преобразователя. 3. М. Диланян, В. С. Варпетян, А. П. Тарасян. Исследование энергетических показателен автономных электромехлинческих систем. 	

Технический релактов Л. А. АЗИЗБЕКЯН

ВФ 03209. Подинеано к пелати 24 4 89 г. Тираж 445. Изд. 5207. Заказ 163 Формат бумаги 70×108¹/в. Печ. л. 3,75. Бум. л. 1,87. Усл. печ. л. 5,25. Уч. пал. листов 3,78,

Издательство Академии наук Армянской ССР, 375019, Ереван, Барекамутян, 24-г. Типография Издательства АН Армянской ССР, Ереван, Барекамутян, 24.